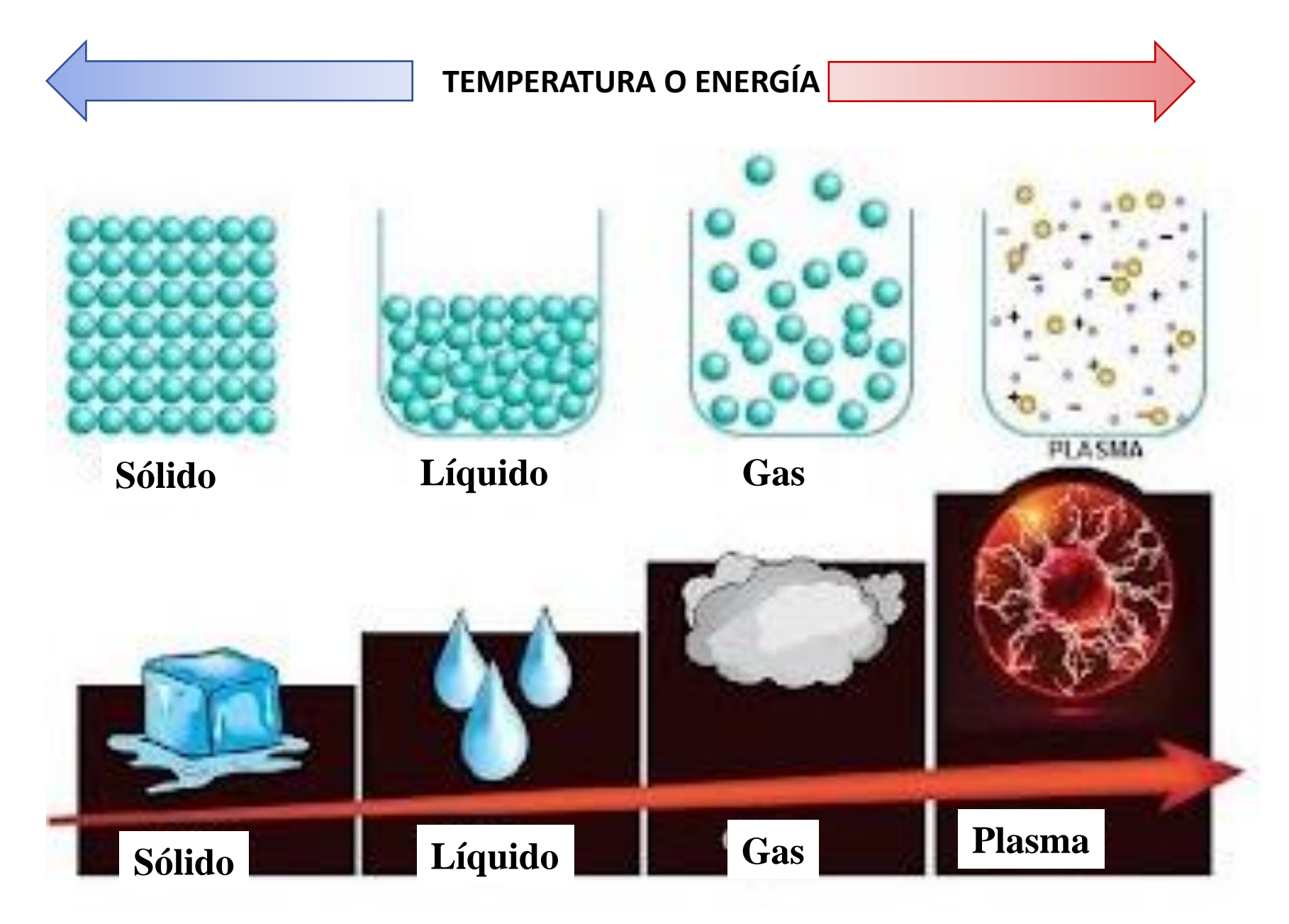


Estados de la materia y fuerzas intermoleculares

Marco Galleguillos Caamaño B.Q. Mg. en BQ

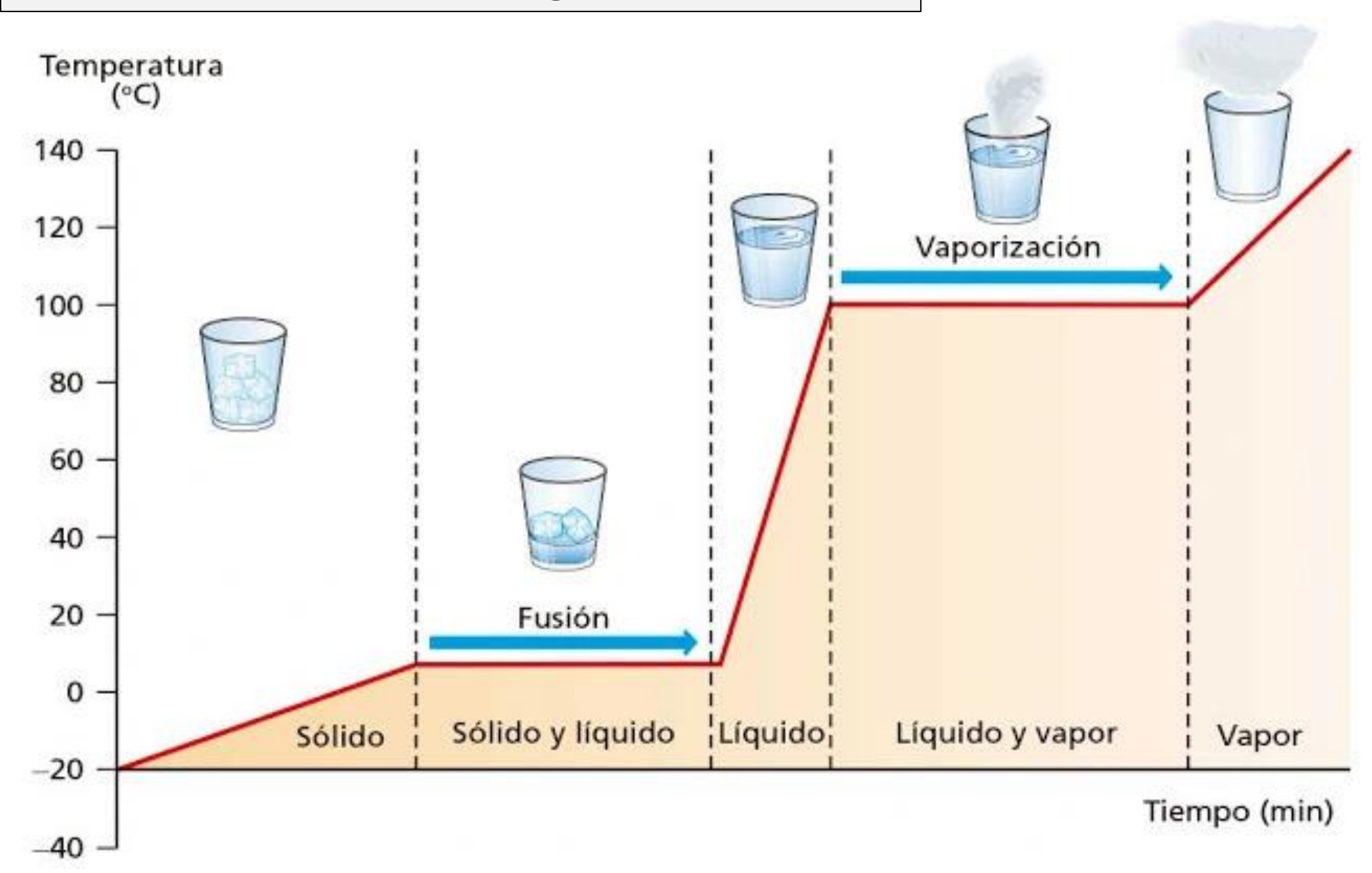
#### Diferentes estados de la materia



#### **TABLA 11.1** Propiedades características de los gases, líquidos y sólidos Estado de Movimiento de Volumen/Forma la materia **Densidad** Compresibilidad moléculas Adopta el volumen y la Muy compresible Movimiento muy libre Gas Baja forma de su contenedor Líquido Alta Sólo ligeramente Se deslizan entre sí Tiene un volumen definido compresible pero adopta la forma de libremente su contenedor Sólido Alta Virtualmente Tiene un volumen y Vibran en torno a formas definidas posiciones fijas incompresible

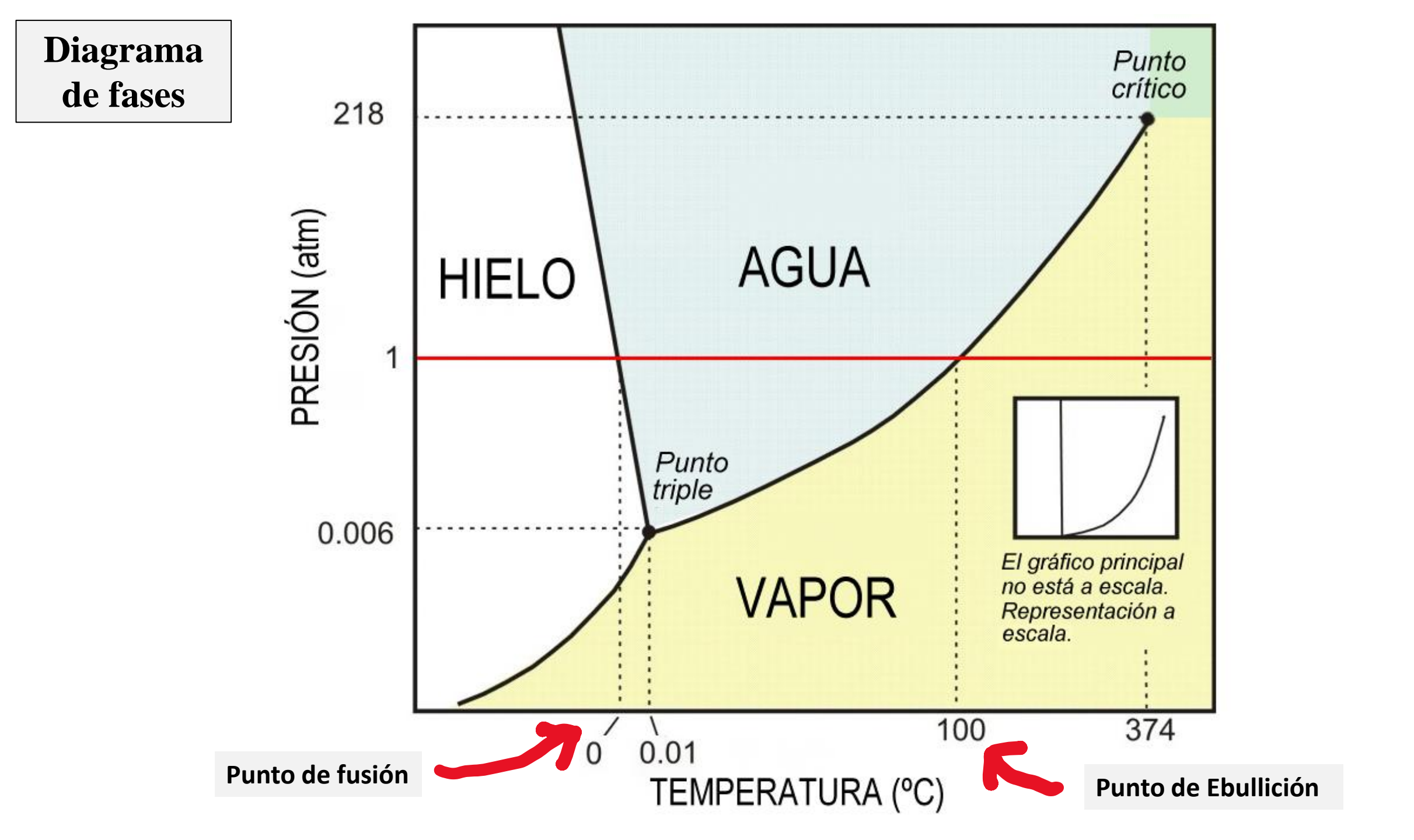


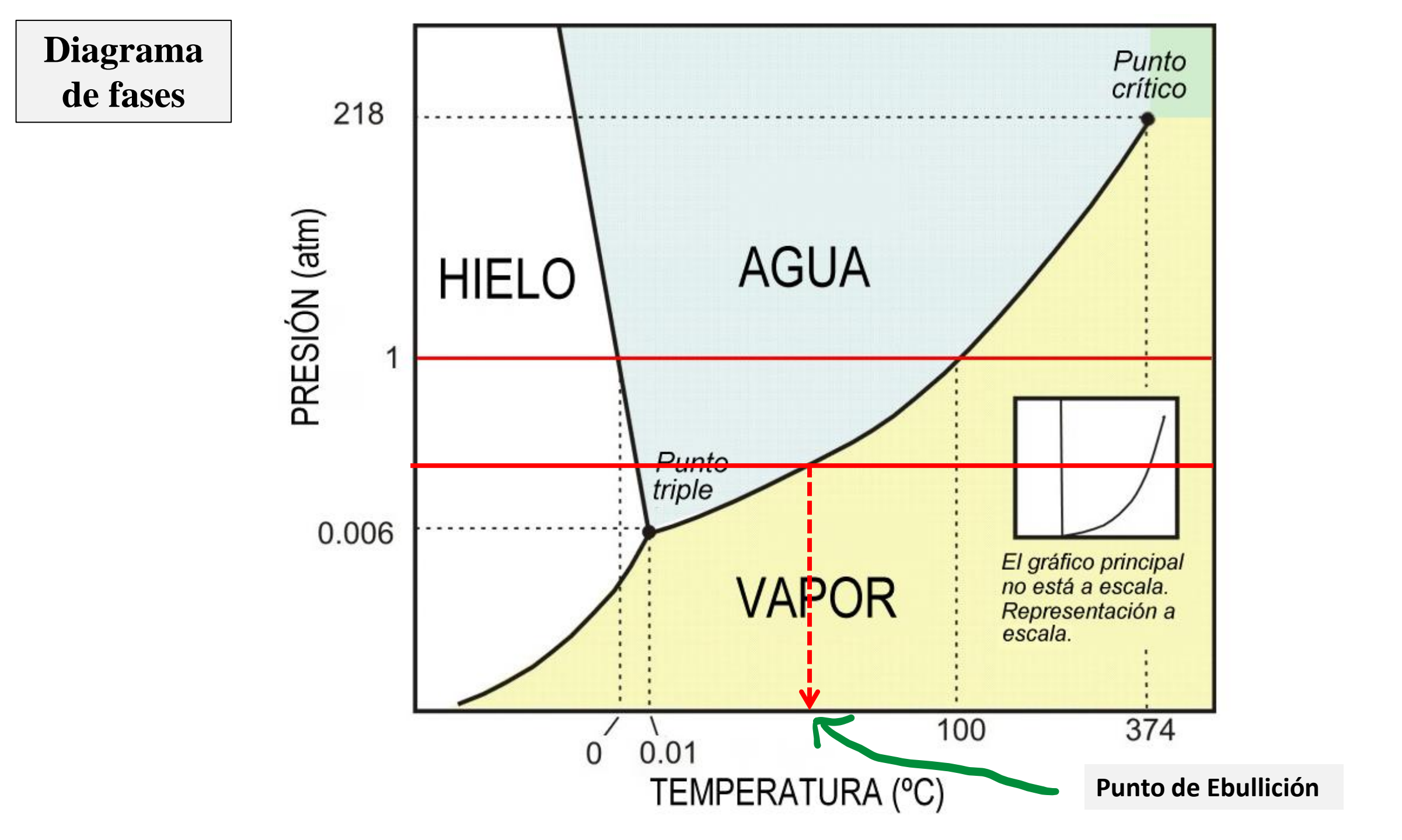
#### Curva de calentamiento del agua a 1 atmósfera



#### Presión atmosférica







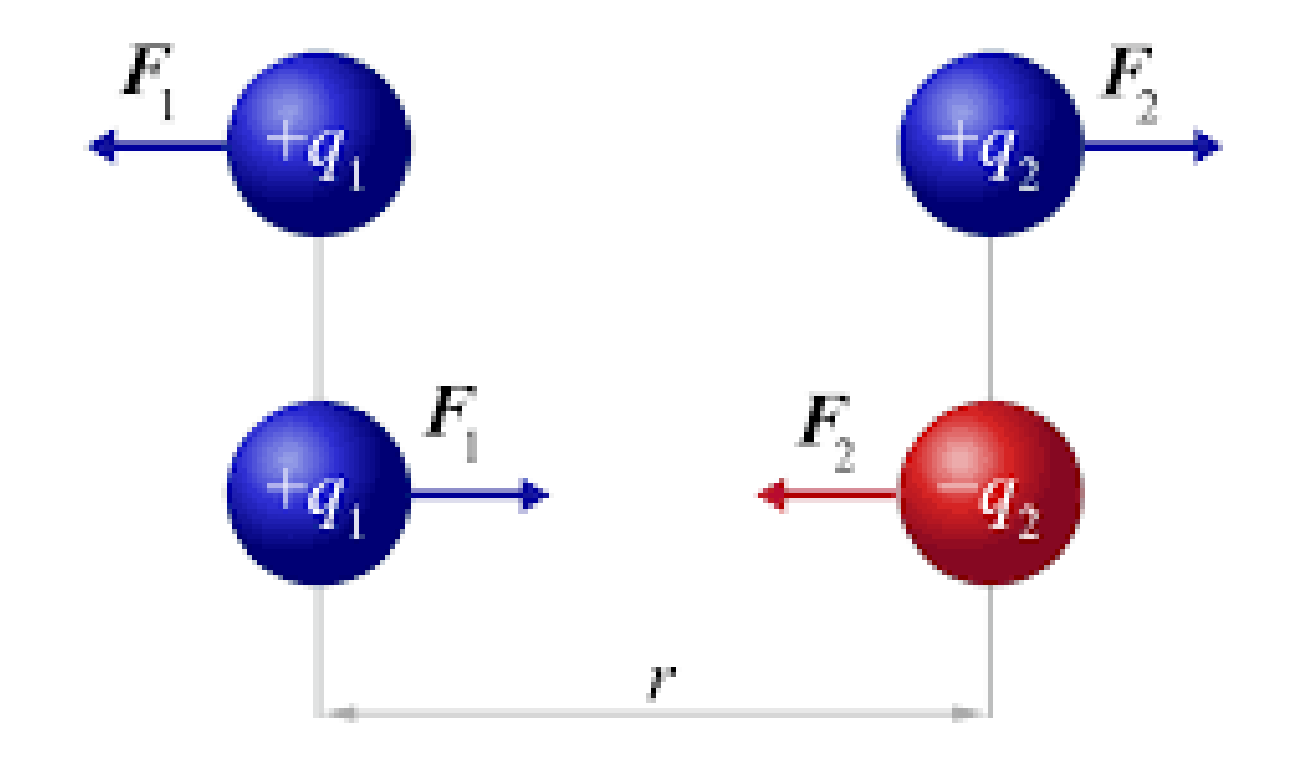




#### Fuerzas Intermoleculares

- Las fuerzas que mantienen las partículas de sólidos y líquidos juntos se llaman fuerzas intermoleculares.
- El enlace covalente es una fuerza intramolecular.
- La atracción entre las moléculas es una fuerza intermolecular.
- Las fuerzas intermoleculares son mucho más débiles que las fuerzas intramoleculares.
- Cuando una sustancia se funde o hierve las fuerzas intermoleculares se rompen (no los enlaces covalentes).

#### Ley de Coulomb

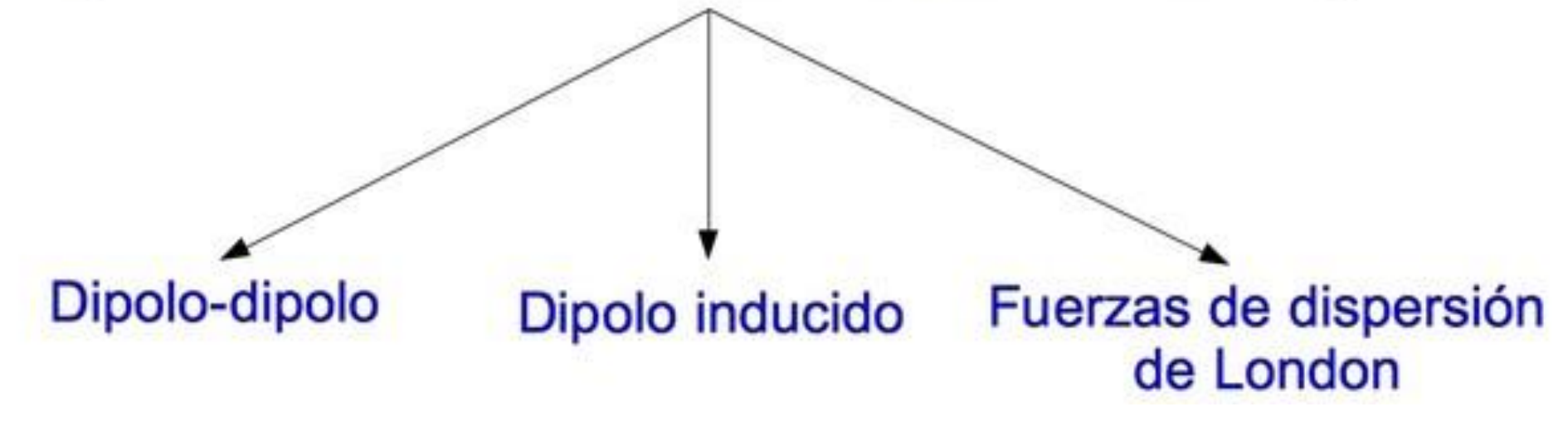


$$\left| \boldsymbol{F}_{1} \right| = \left| \boldsymbol{F}_{2} \right| = k_{e} \frac{\left| \boldsymbol{q}_{1} \times \boldsymbol{q}_{2} \right|}{r^{2}}$$

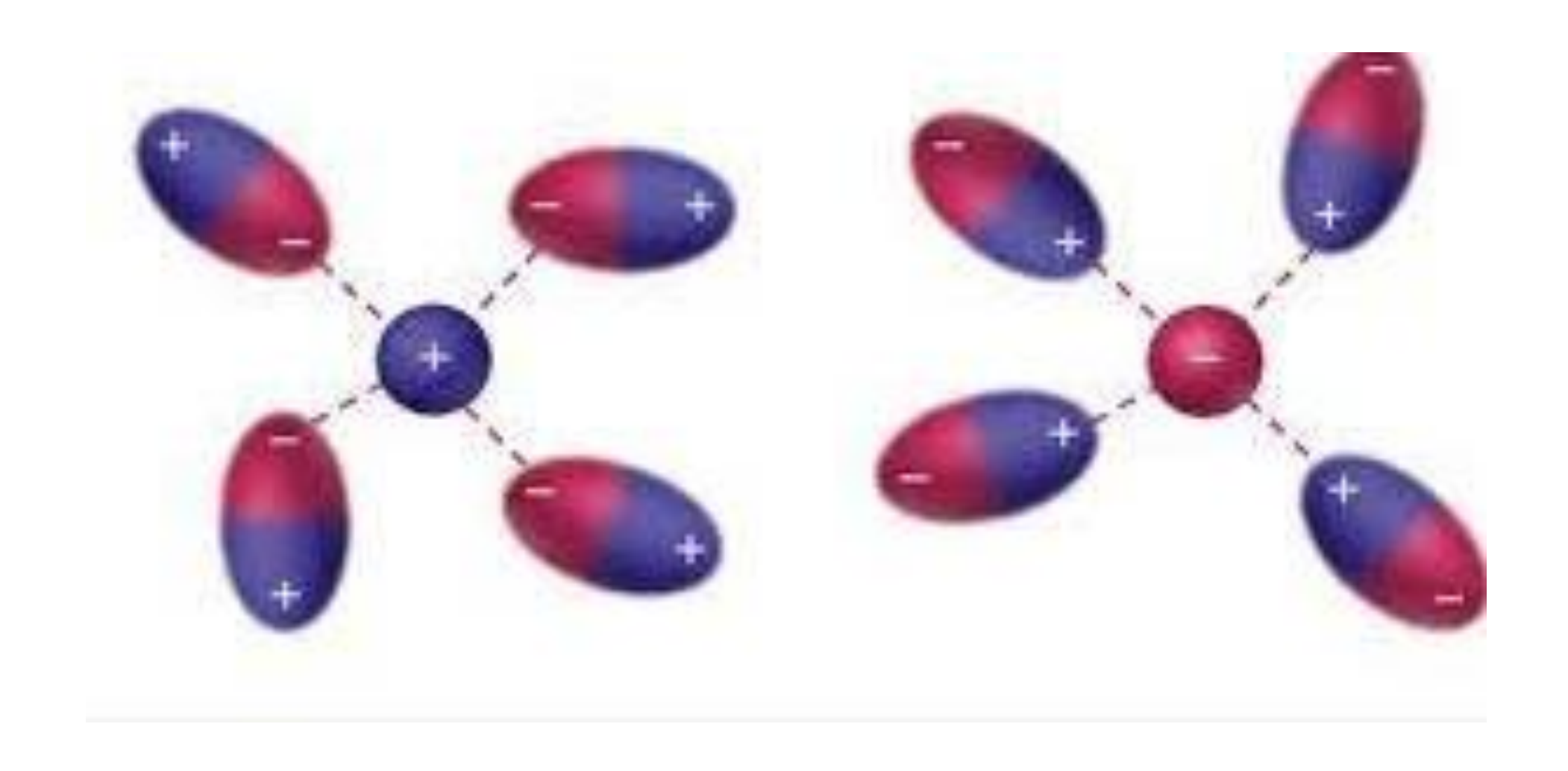
La fuerza de atracción (F1) o de repulsión (F2) es proporcional a la magnitud de las cargas (q) e inversamente proporcional al cuadrado de la distancia que las separa

## Fuerzas intermoleculares

Fuerzas ión-dipolo Fuerzas de Van der Waals Puente de hidrógeno



Fuerzas ion-dipolo. Es la fuerza de atracción entre un ion (catión o anión) y una molécula polar.

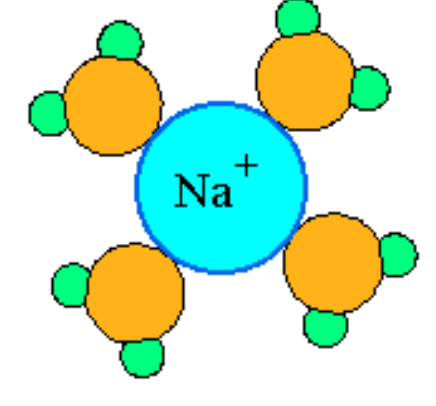


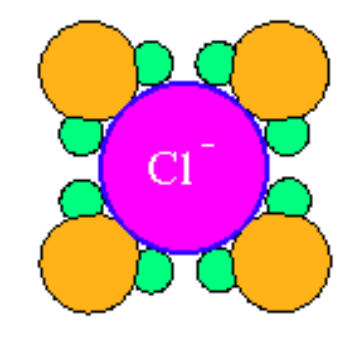
#### Solución de NaCl

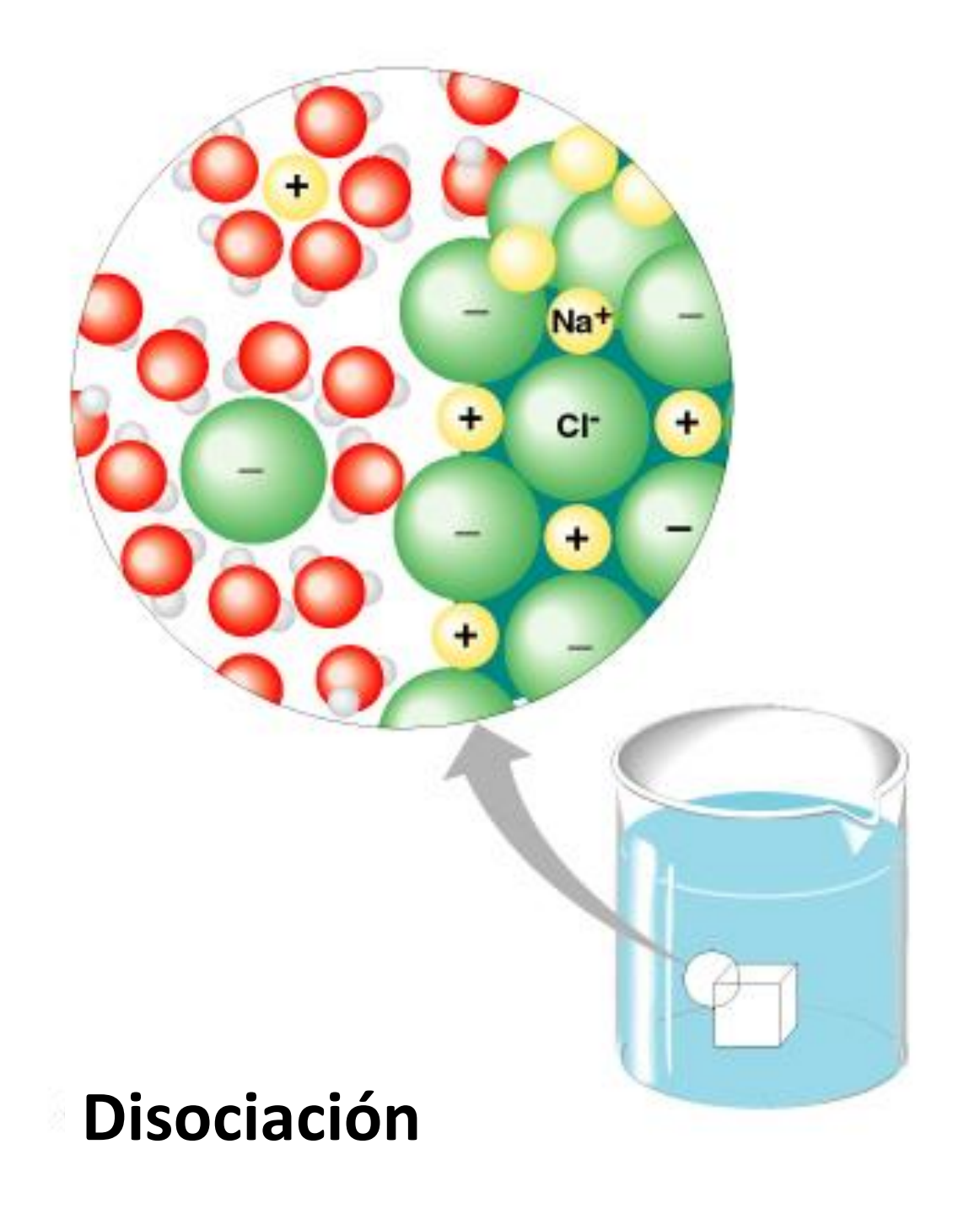


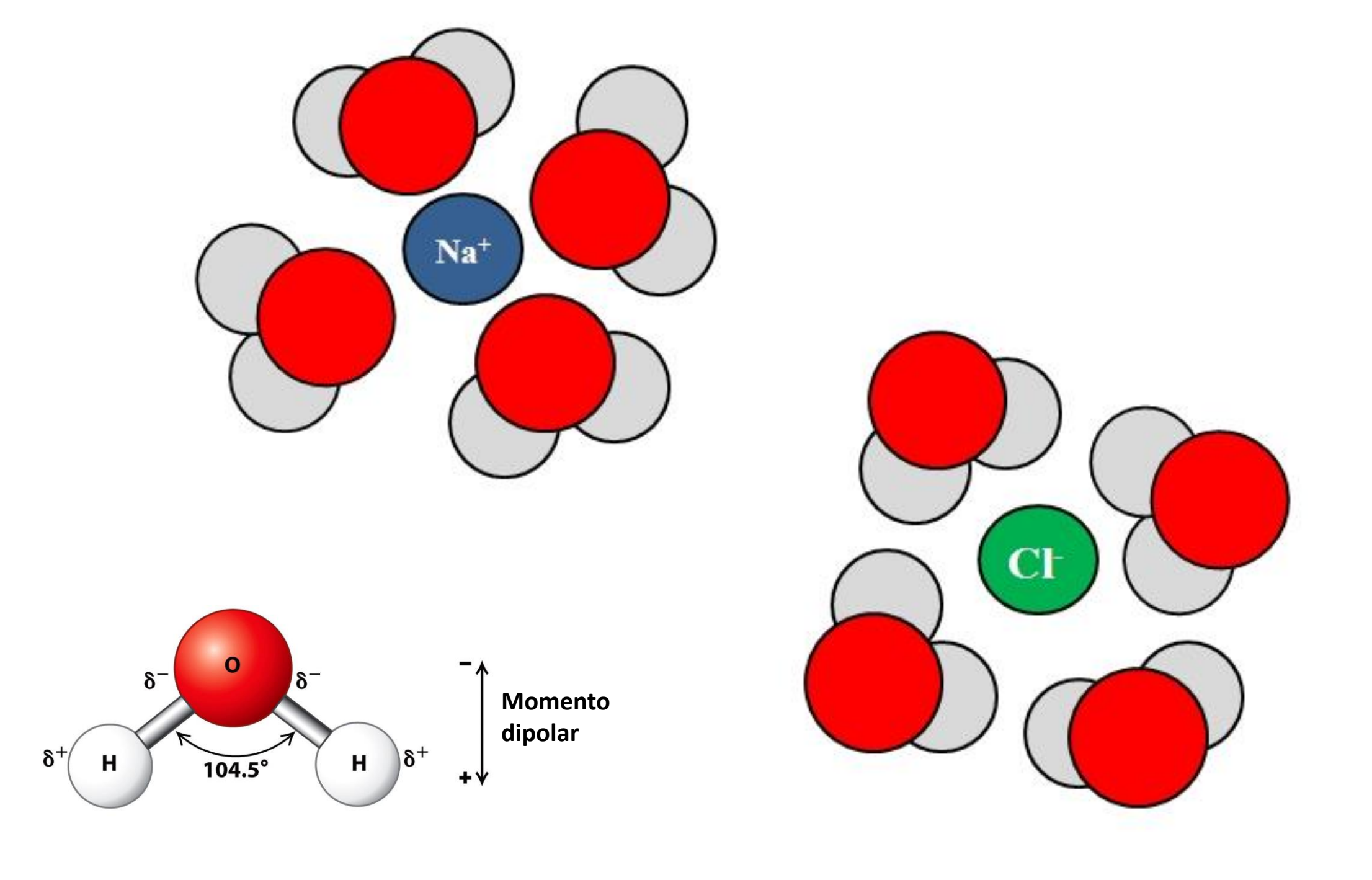


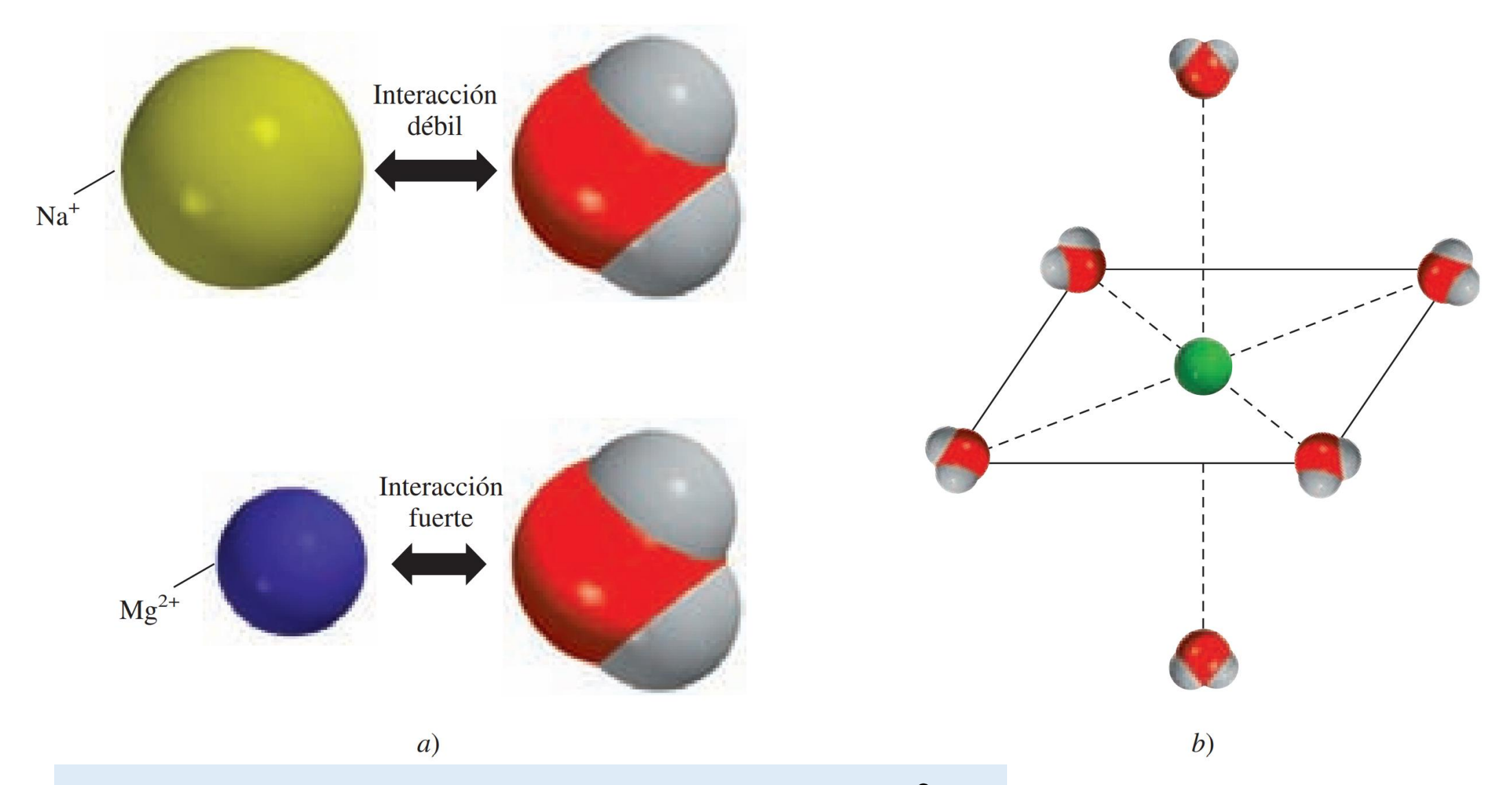






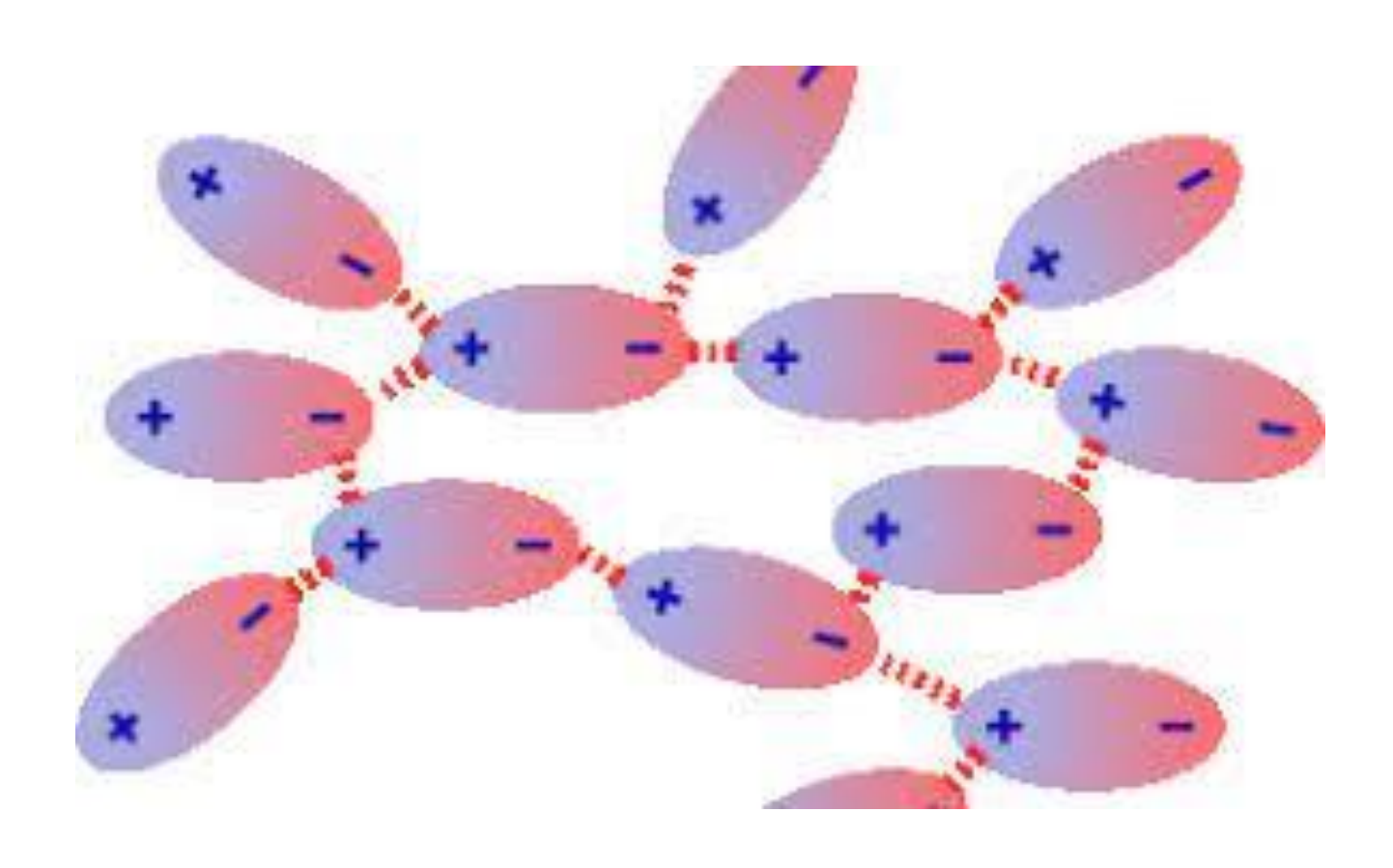




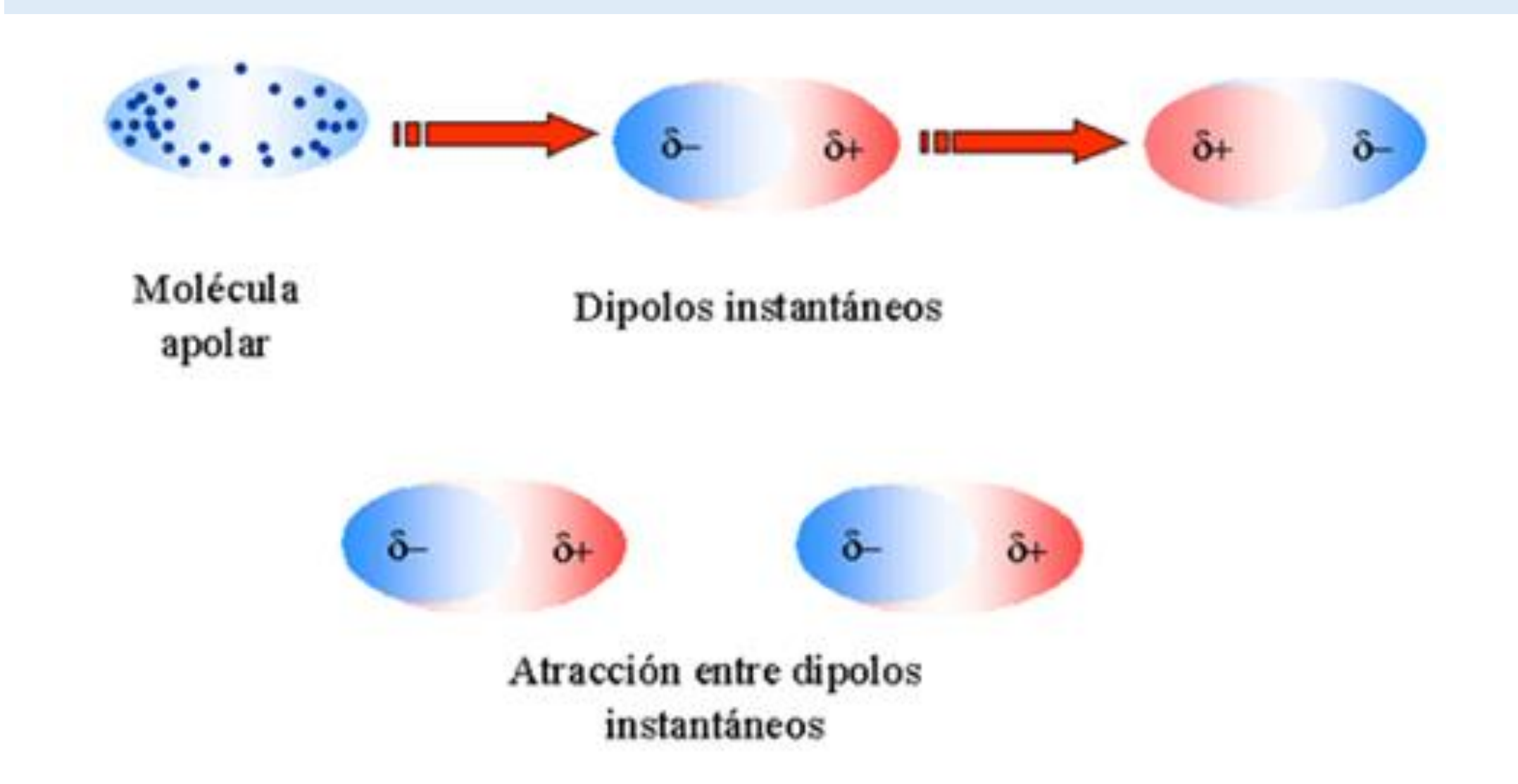


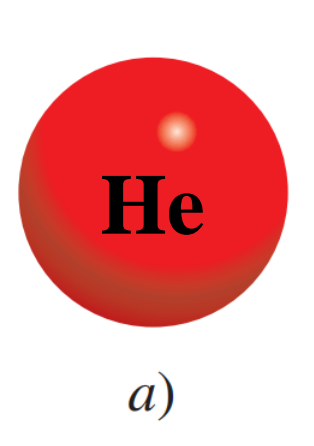
La fuerza de atracción del ion Mg<sup>2+</sup> es mayor que la del ion Na<sup>+</sup>

## Fuerzas dipolo-dipolo. Son las fuerzas de atracción entre moléculas polares

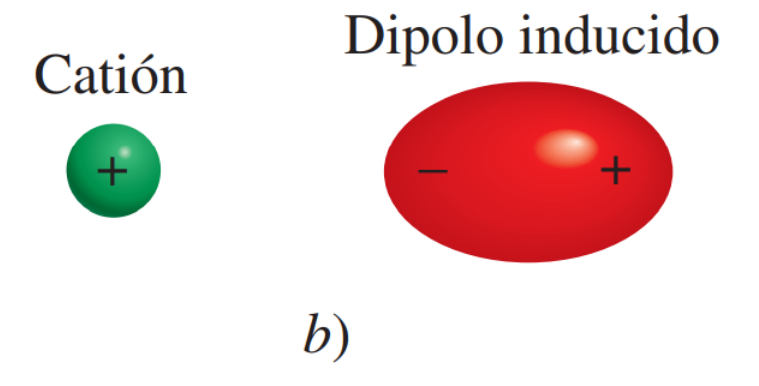


Fuerzas de dispersión. fuerzas de atracción que se generan a partir de los dipolos temporales inducidos en los átomos o moléculas.

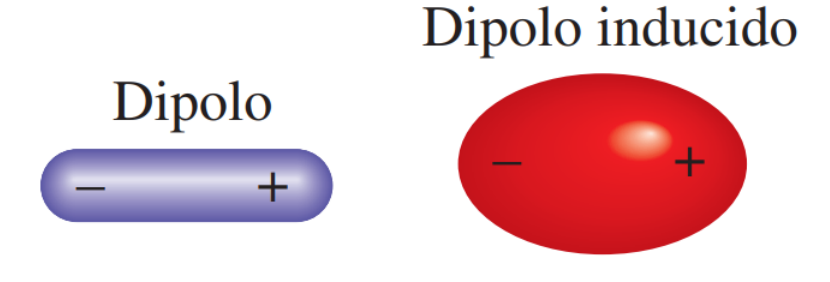




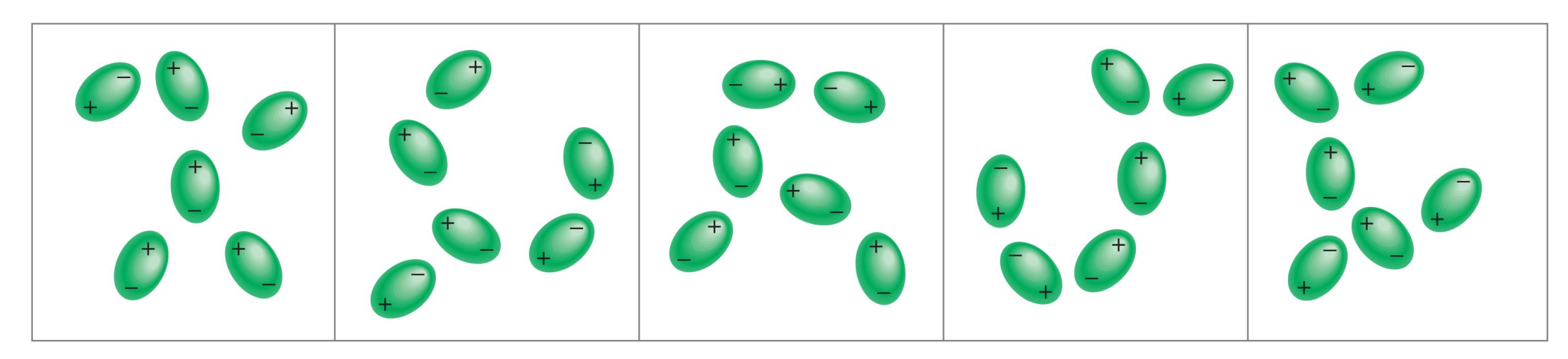
a) Distribución esférica de la carga de un átomo de helio



b) Distorsión provocada por la cercanía de un catión



c) Distorsión provocada por la cercanía de un dipolo



**Figura 11.5** Interacción entre dipolos inducidos. Estos patrones existen tan sólo momentáneamente; al instante siguiente, se distribuyen de otra forma. Este tipo de interacción es responsable de la condensación de los gases no polares.



#### Nitrógeno líquido

N<sub>2</sub> (liq)

- 180 °C

Cuando disminuye la energía cinética de las moléculas de  $N_2$ , las fuerzas de dispersión de London explican el cambio en el estado de agregación de este gas

	P. fusión	P. ebullición	Estado a T amb.
Cl <sub>2</sub> (3:14)	-102 ºC	-34 ºC	Gas
Br <sub>2</sub> (2-35)	-7 ºC	59 ºC	Líquido
1 <sub>2</sub> (2=53)	83 ºC	184 ºC	Sólido



Fuerzas intermoleculares mayores Mayor punto de fusión y ebullición

**Polarizabilidad.** Facilidad para distorsionar la nube electrónica de un átomo o molécula. En general, un átomo o molécula tiende a ser más polarizable a medida que aumenta el número de electrones y se hace más difusa la nube de electrones.

#### Tamaño molecular



F(Z=9)

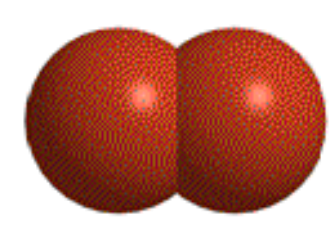
 $F_2$ 



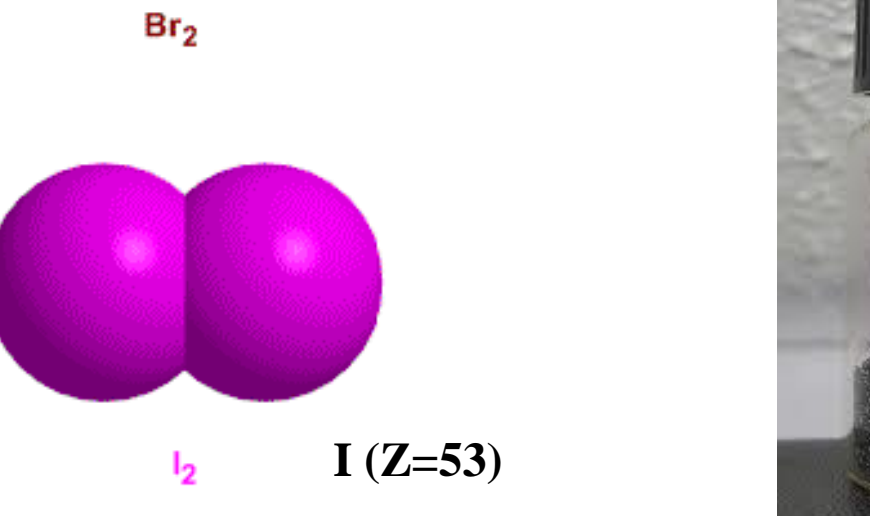
Cl (**Z**=17)

 $\operatorname{CI}_2$ 





Br (Z=35)





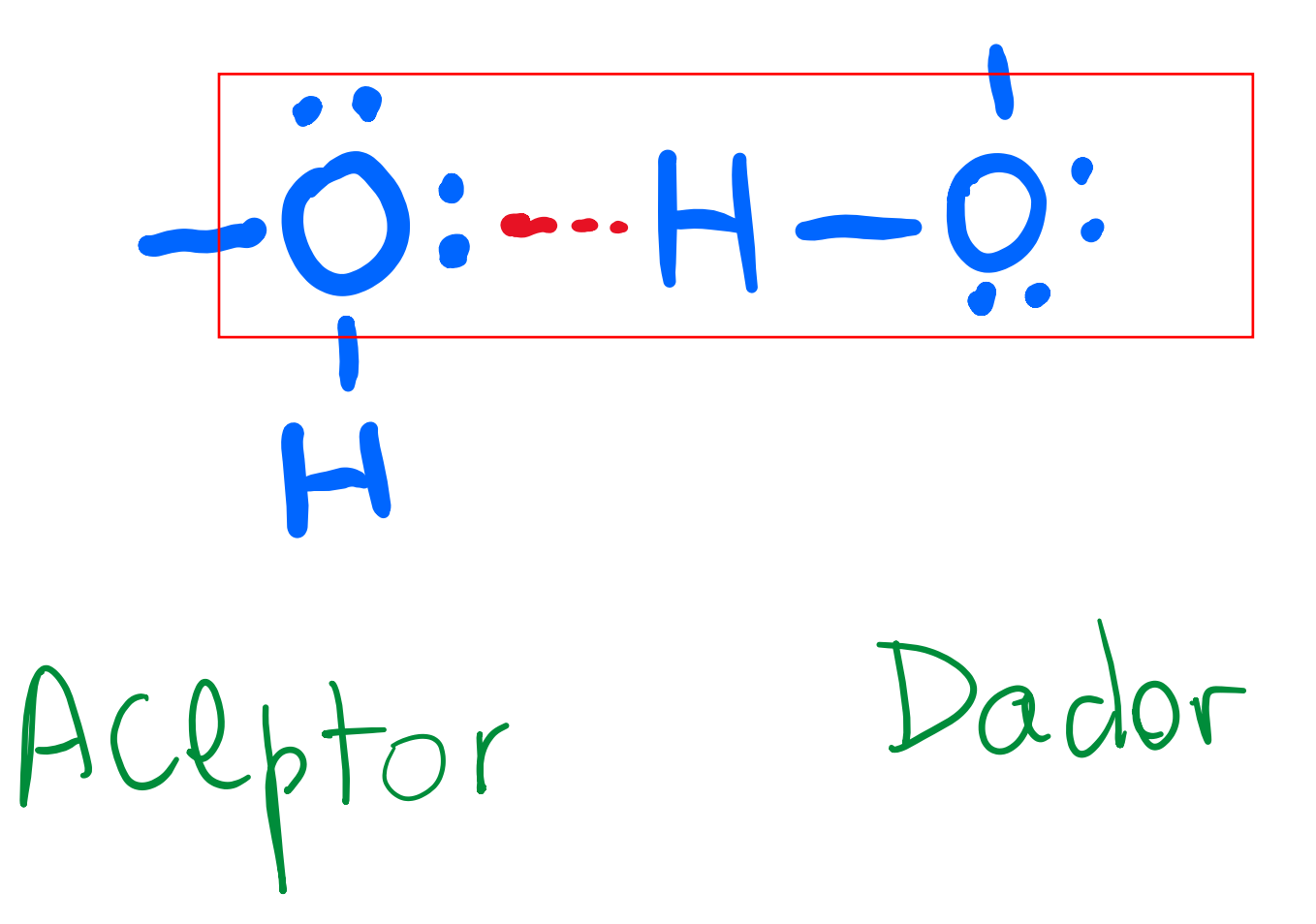


# Puntos de fusión de compuestos no polares semejantes

Compuesto	Punto de fusión (°C)
$CH_4$	-182.5
$CF_4$	-150.0
$CCl_4$	-23.0
$CBr_4$	90.0
$CI_4$	171.0

El punto de fusión aumenta con el número de electrones de la molécula. Las fuerzas de dispersión aumentan a medida que aumenta la masa molecular.

#### Enlace de hidrógeno

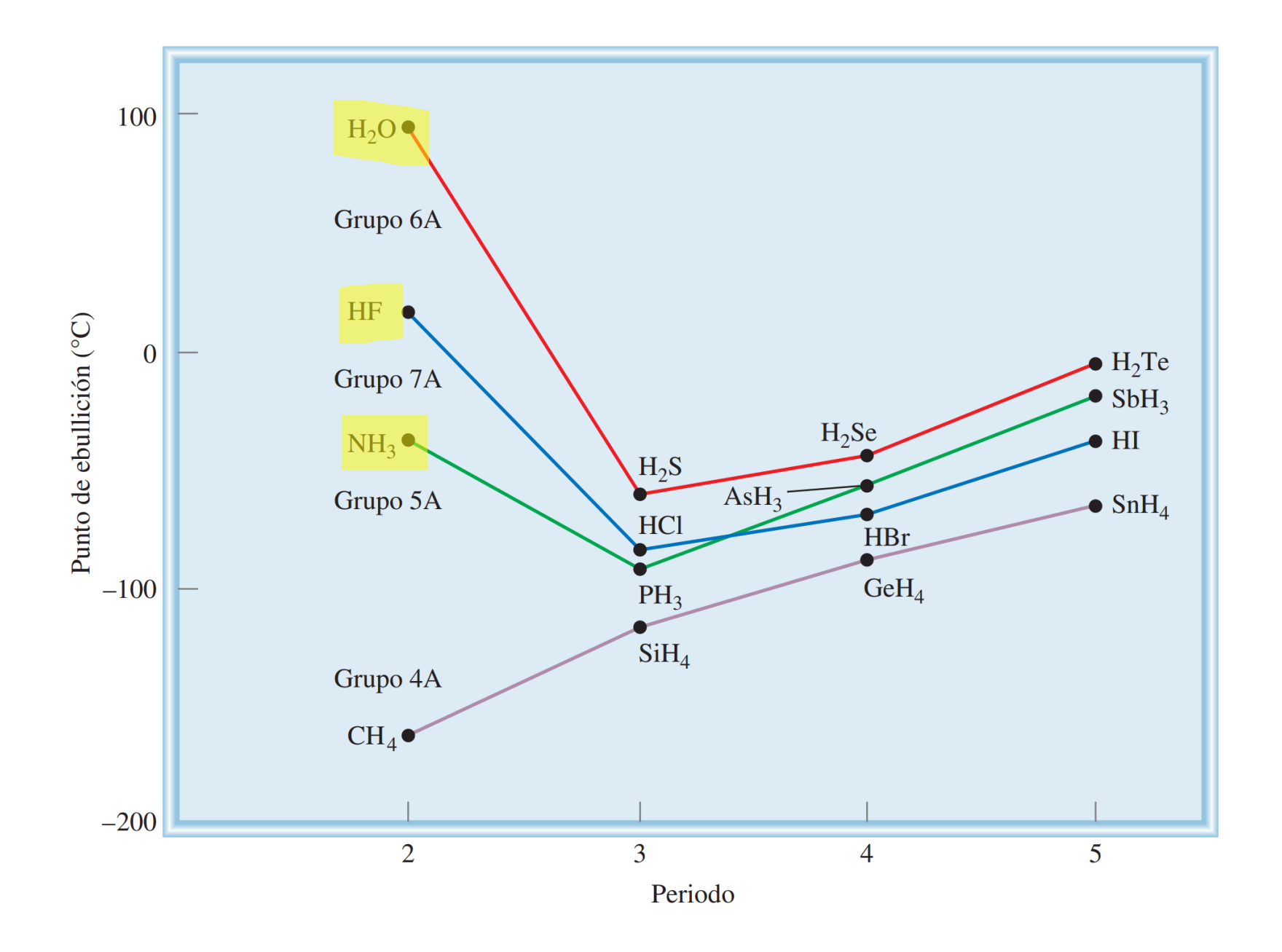


### Electronegatividad. Capacidad de un átomo para atraer hacia sí los electrones de un enlace químico

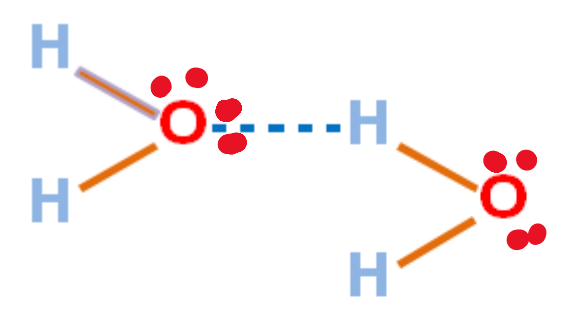
Aumento de la electronegatividad

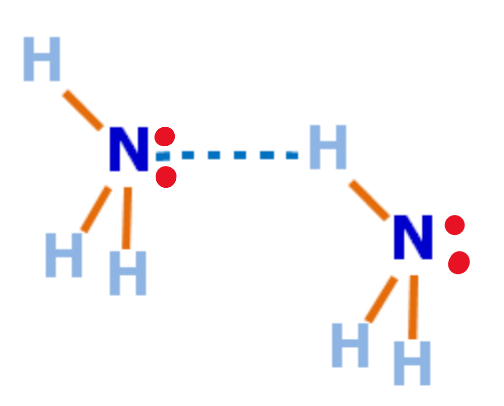
	1A																	8A
	<b>H</b> 2.1	2A	1										3A	4A	5A	6A	7A	
	<b>Li</b> 1.0	<b>Be</b> 1.5											<b>B</b> 2.0	<b>C</b> 2.5	N 3.0	<b>O</b> 3.5	<b>F</b> 4.0	
o	<b>Na</b> 0.9	<b>Mg</b> 1.2	3B	4B	5B	6B	7B	_	—8B—		1B	2B	<b>Al</b> 1.5	<b>Si</b> 1.8	<b>P</b> 2.1	<b>S</b> 2.5	<b>Cl</b> 3.0	
	<b>K</b> 0.8	<b>Ca</b> 1.0	<b>Sc</b> 1.3	<b>Ti</b> 1.5	<b>V</b> 1.6	<b>Cr</b> 1.6	<b>Mn</b> 1.5	<b>Fe</b> 1.8	<b>Co</b> 1.9	<b>Ni</b> 1.9	<b>Cu</b> 1.9	<b>Zn</b> 1.6	<b>Ga</b> 1.6	<b>Ge</b> 1.8	<b>As</b> 2.0	<b>Se</b> 2.4	<b>Br</b> 2.8	<b>Kr</b> 3.0
	<b>Rb</b> 0.8	<b>Sr</b> 1.0	<b>Y</b> 1.2	<b>Zr</b> 1.4	<b>Nb</b> 1.6	<b>Mo</b> 1.8	<b>Tc</b> 1.9	<b>Ru</b> 2.2	<b>Rh</b> 2.2	<b>Pd</b> 2.2	<b>Ag</b> 1.9	<b>Cd</b> 1.7	<b>In</b> 1.7	<b>Sn</b> 1.8	<b>Sb</b> 1.9	<b>Te</b> 2.1	I 2.5	<b>Xe</b> 2.6
	<b>Cs</b> 0.7	<b>Ba</b> 0.9	<b>La-Lu</b> 1.0-1.2	<b>Hf</b> 1.3	<b>Ta</b> 1.5	<b>W</b> 1.7	<b>Re</b> 1.9	<b>Os</b> 2.2	Ir 2.2	Pt 2.2	<b>Au</b> 2.4	<b>Hg</b> 1.9	<b>Tl</b> 1.8	<b>Pb</b> 1.9	<b>Bi</b> 1.9	<b>Po</b> 2.0	<b>At</b> 2.2	
	<b>Fr</b> 0.7	<b>Ra</b> 0.9																

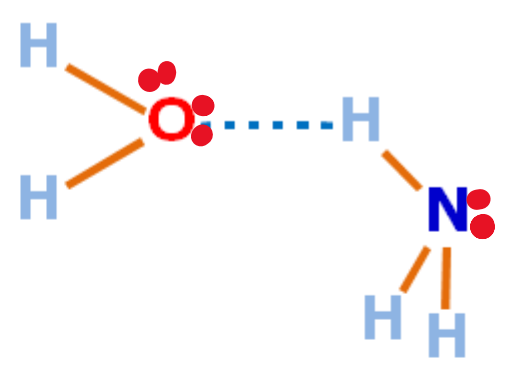
Aumento de la electronegatividad

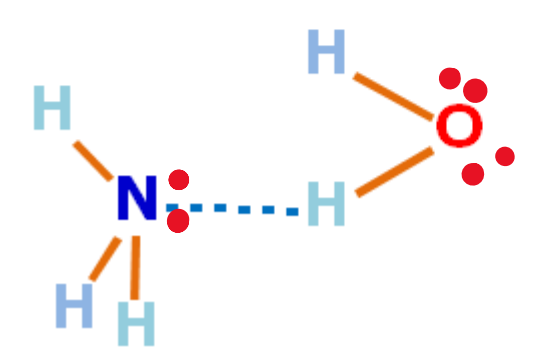


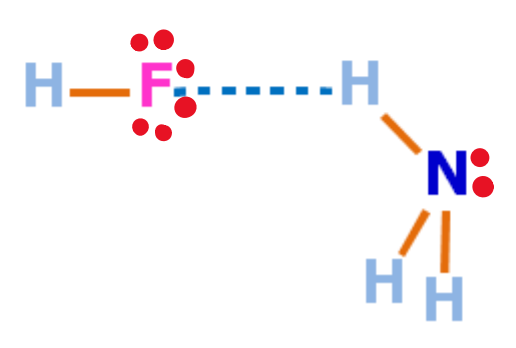
#### Enlace de hidrógeno

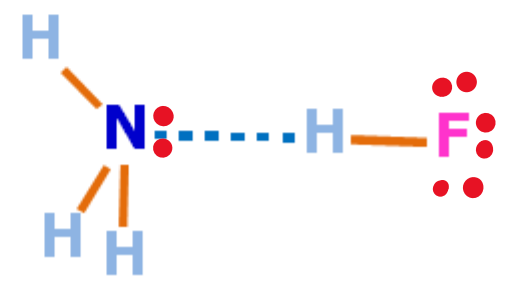




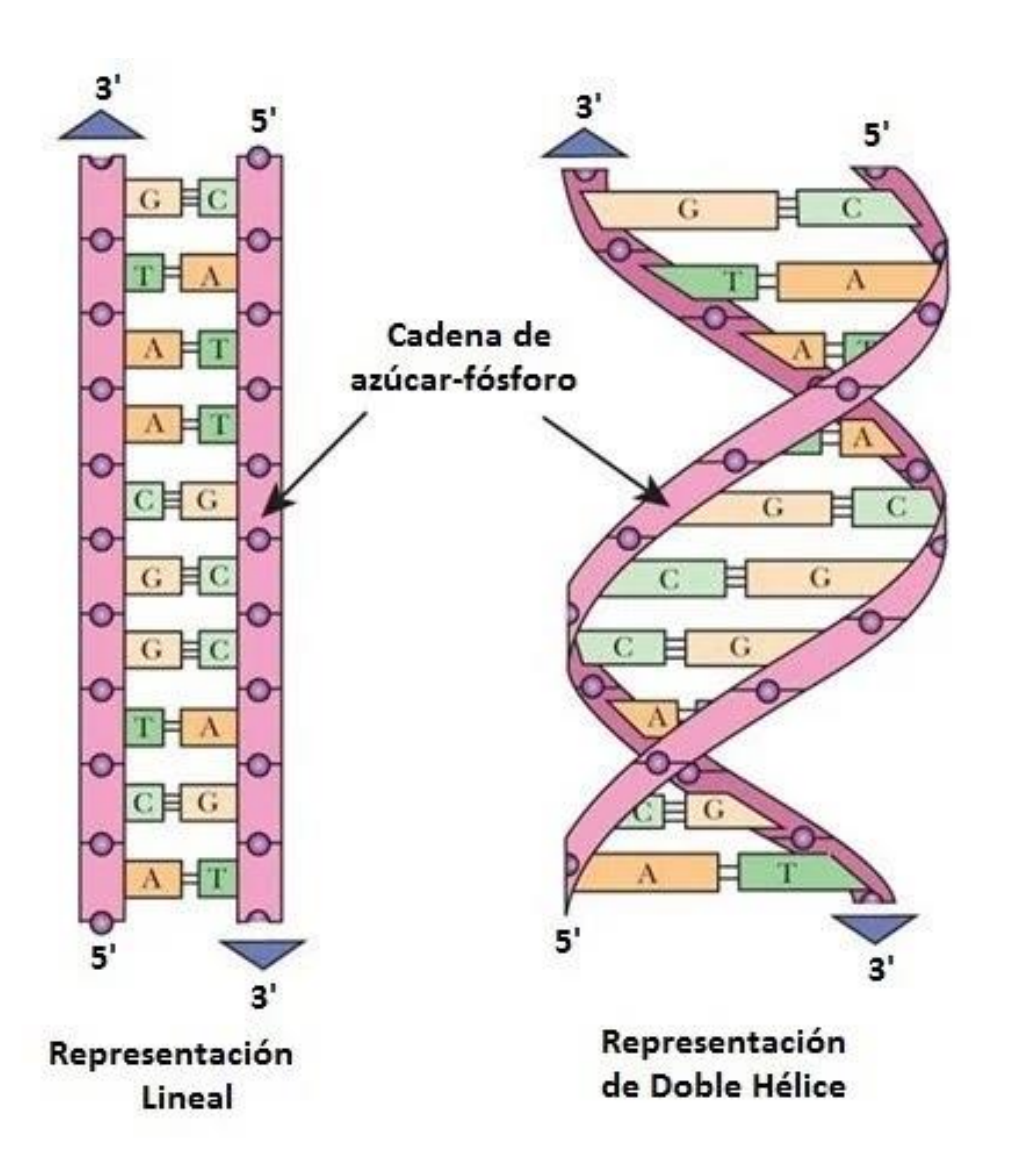


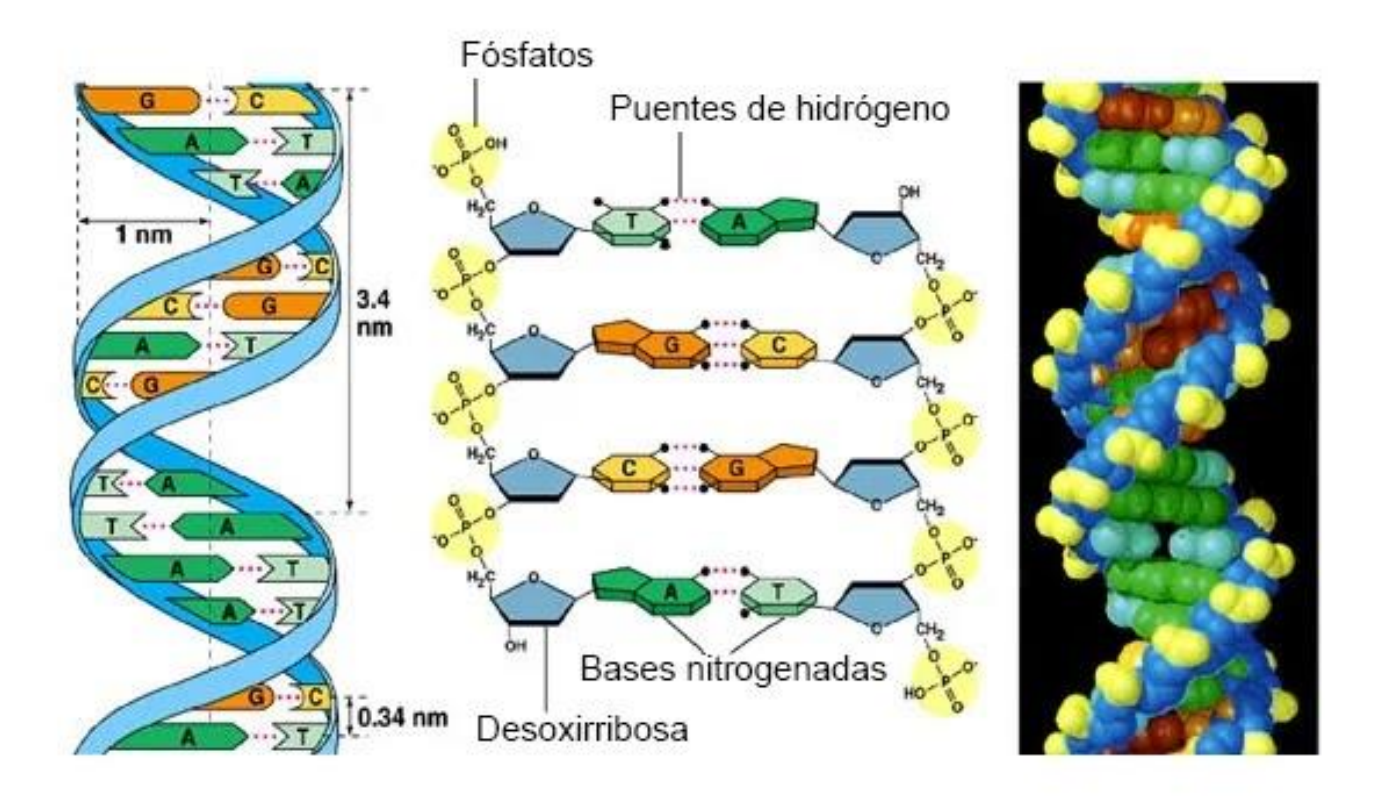




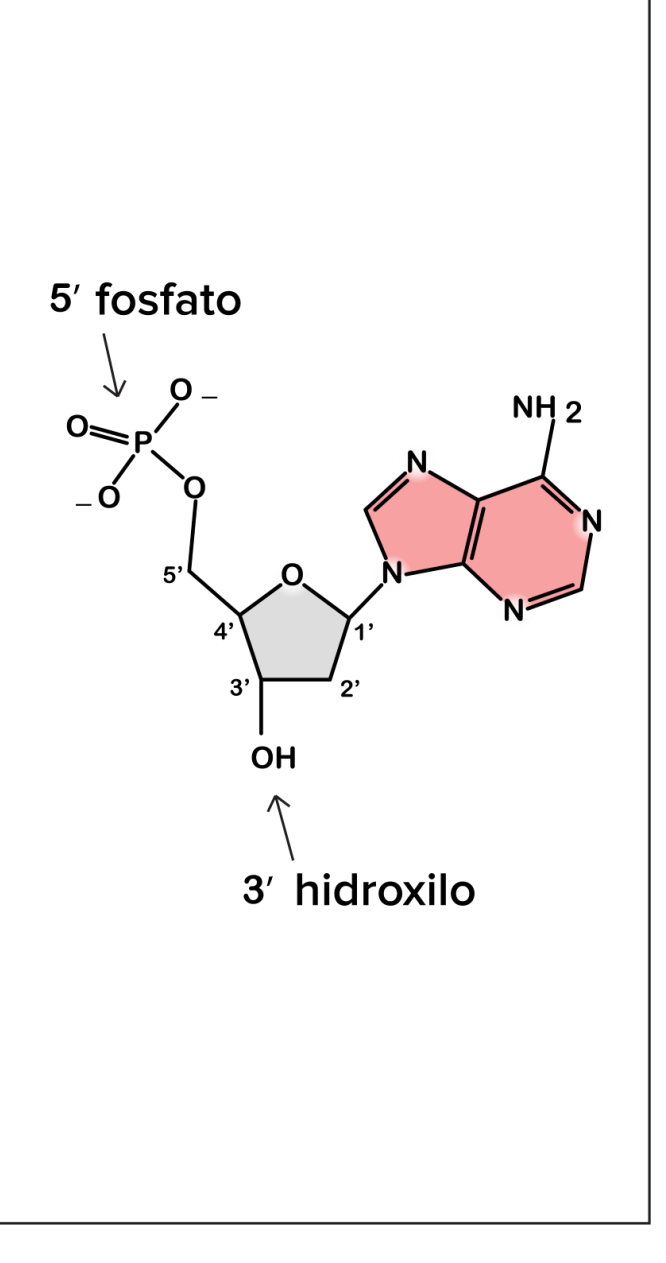


# Enlace de hidrógeno δ+ 'H

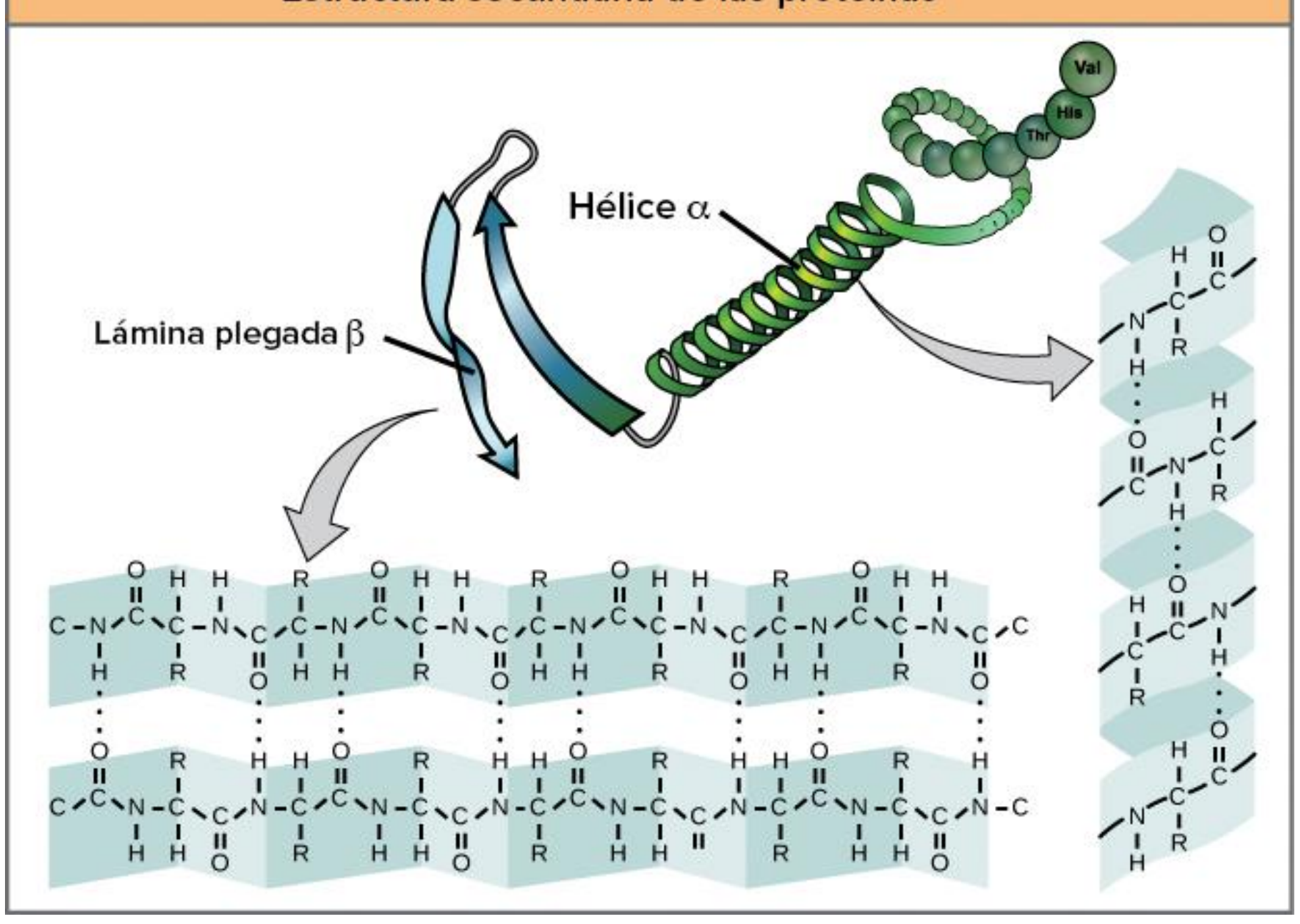


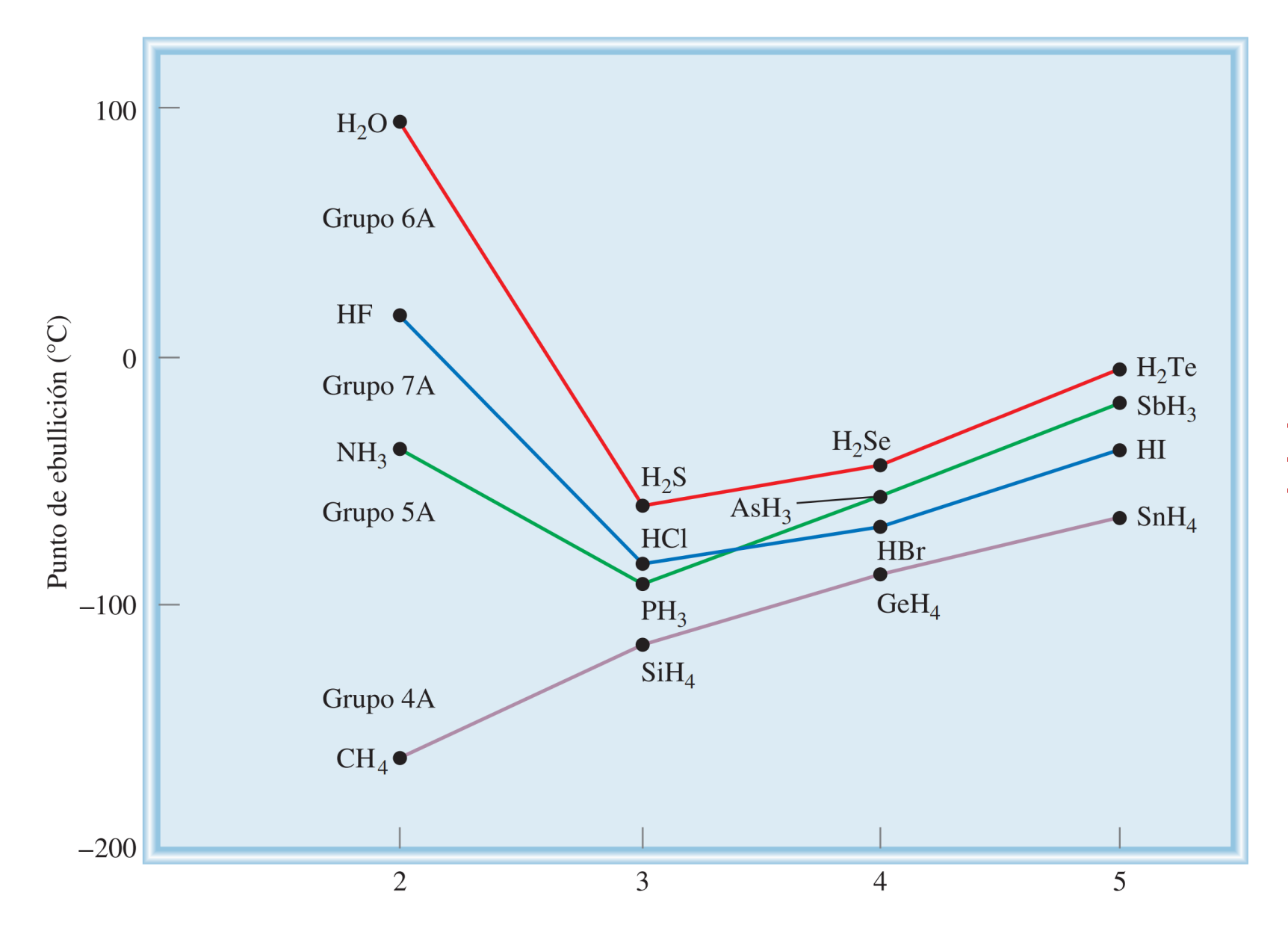


Modelo de ADN



#### Estructura secundaria de las proteínas





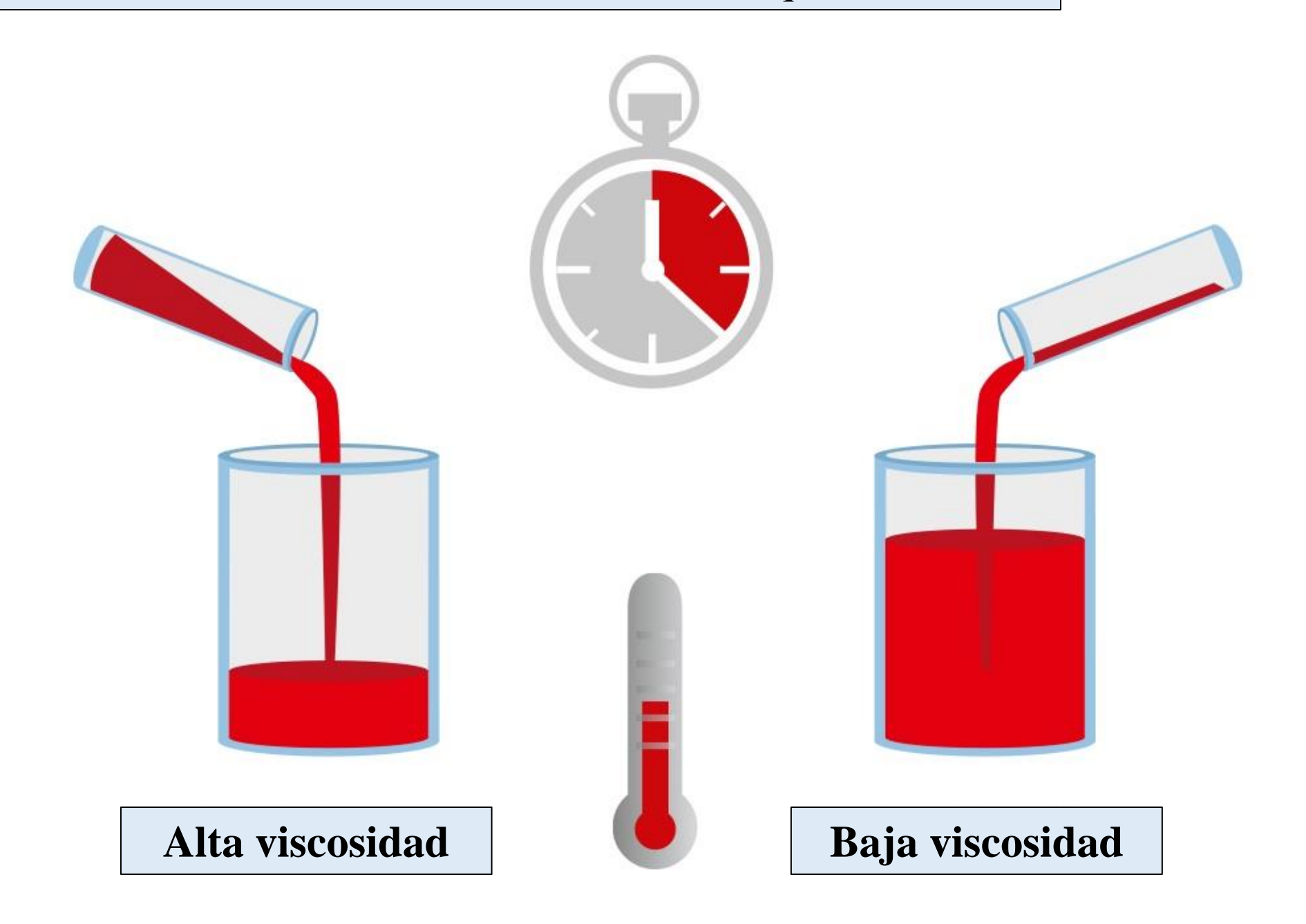
**Figura 11.6** Puntos de ebullición de los compuestos con hidrógeno de los elementos de los grupos 4A, 5A, 6A y 7A. A pesar de que normalmente esperamos que el punto de ebullición se incremente a medida que se desciende en un grupo, podemos observar que tres compuestos (NH<sub>3</sub>, H<sub>2</sub>O y HF) se comportan de manera diferente. Esta anomalía se puede explicar en términos del puente de hidrógeno intermolecular.

## Intensidad de las fuerzas intermoleculares

Tipo de interacción	Energía aproximada (kJ/mol)							
Fuerzas Intermoleculares								
Van der Waals	0.1 – 10							
Enlace de H	10 – 40							
Enlace químico								
lónico	100 – 1000							
Covalente	250-400							



Viscosidad es una medida de la resistencia de los líquidos a fluir



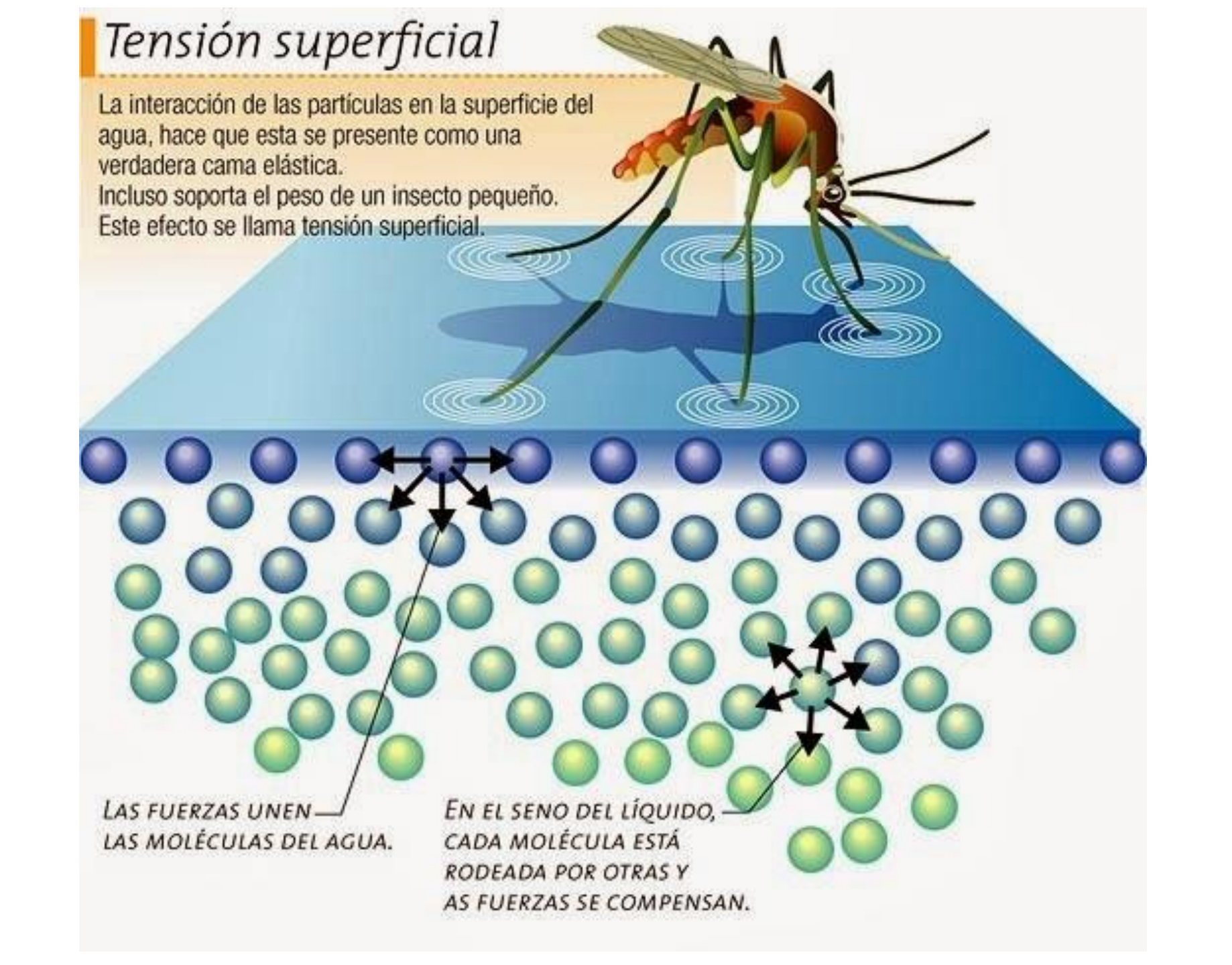
#### TABLA 11.3 Viscosidad de algunos líquidos comunes a 20°C

Líquido	Viscosidad (N s/m²)*	
Acetona (C <sub>3</sub> H <sub>6</sub> O)	$3.16 \times 10^{-4}$	
Benceno (C <sub>6</sub> H <sub>6</sub> )	$6.24 \times 10^{-4}$	
Sangre	$4 \times 10^{-3}$	
Tetracloruro de carbono (CCl <sub>4</sub> )	$9.69 \times 10^{-4}$	
Éter dietílico (C <sub>2</sub> H <sub>5</sub> OC <sub>2</sub> H <sub>5</sub> )	$2.33 \times 10^{-4}$	
Etanol ( $C_2H_5OH$ )	$1.20 \times 10^{-3}$	
Glicerol (C <sub>3</sub> H <sub>8</sub> O <sub>3</sub> )	1.49	
Mercurio (Hg)	$1.55 \times 10^{-3}$	
Agua (H <sub>2</sub> O)	$1.01 \times 10^{-3}$	

<sup>\*</sup> Las unidades del SI de la viscosidad son newton-segundo por metro cuadrado.



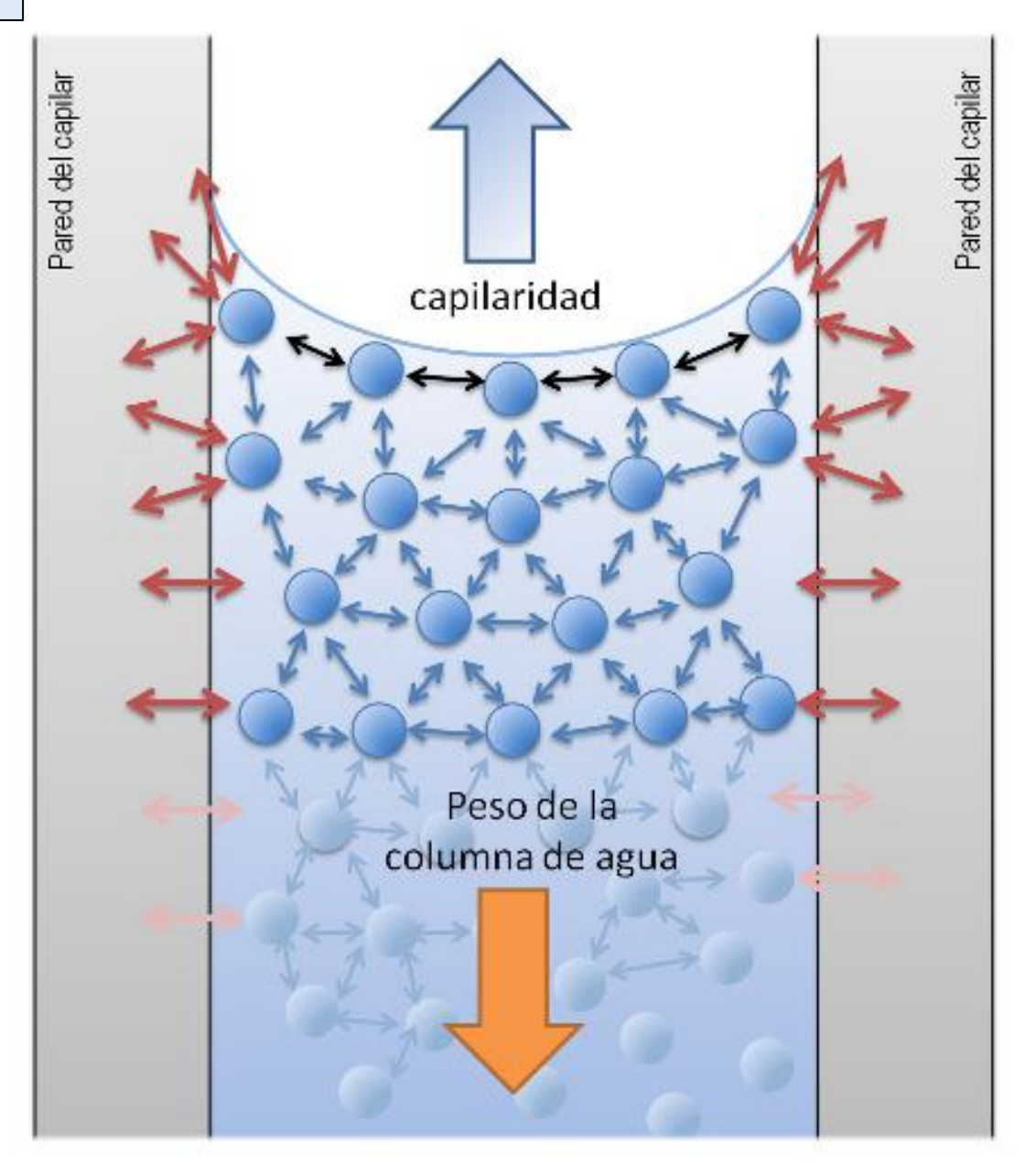
Tensión superficial



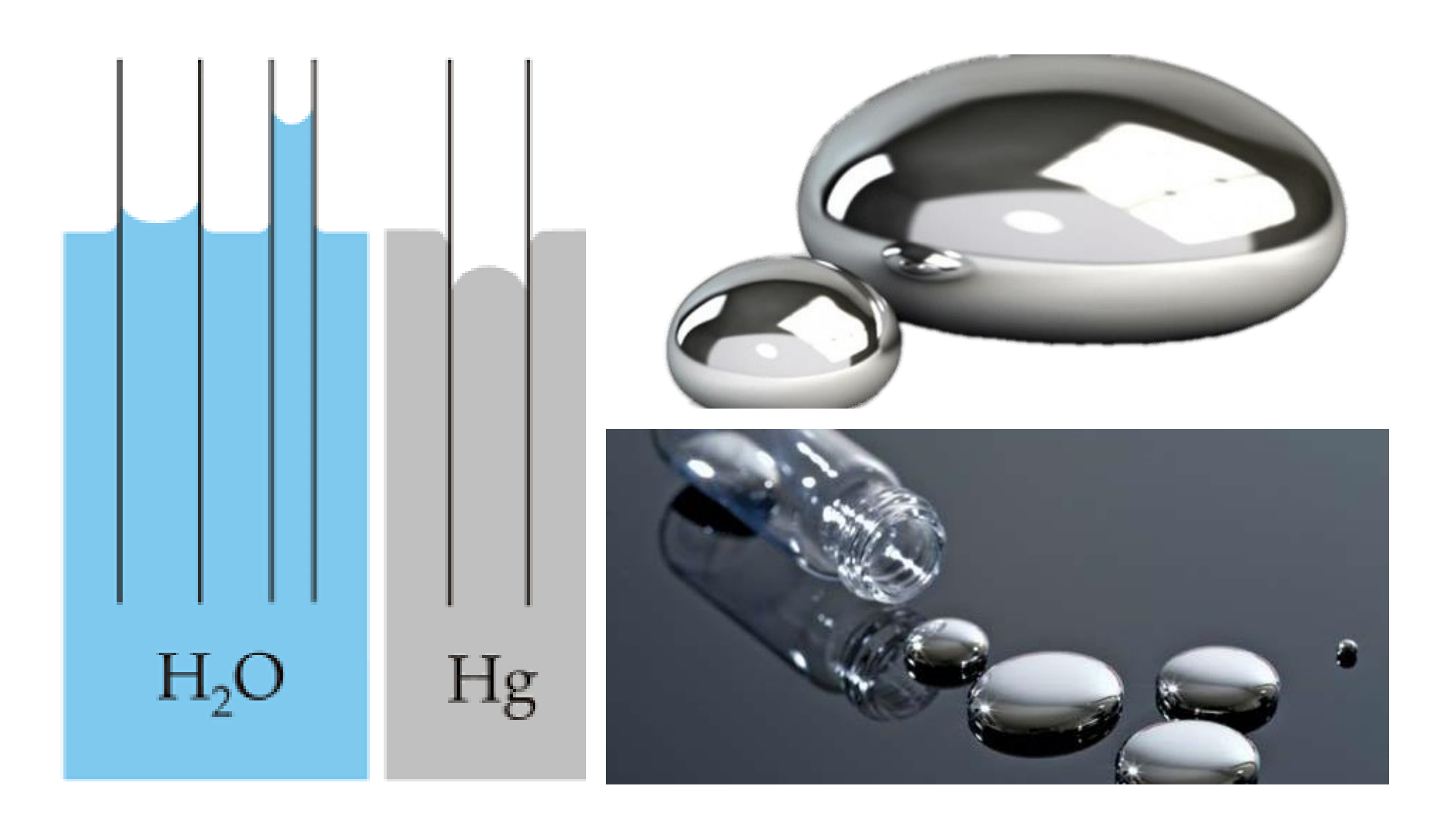




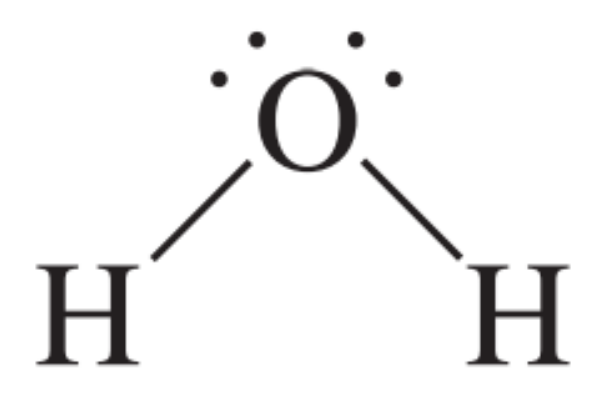
#### Capilaridad

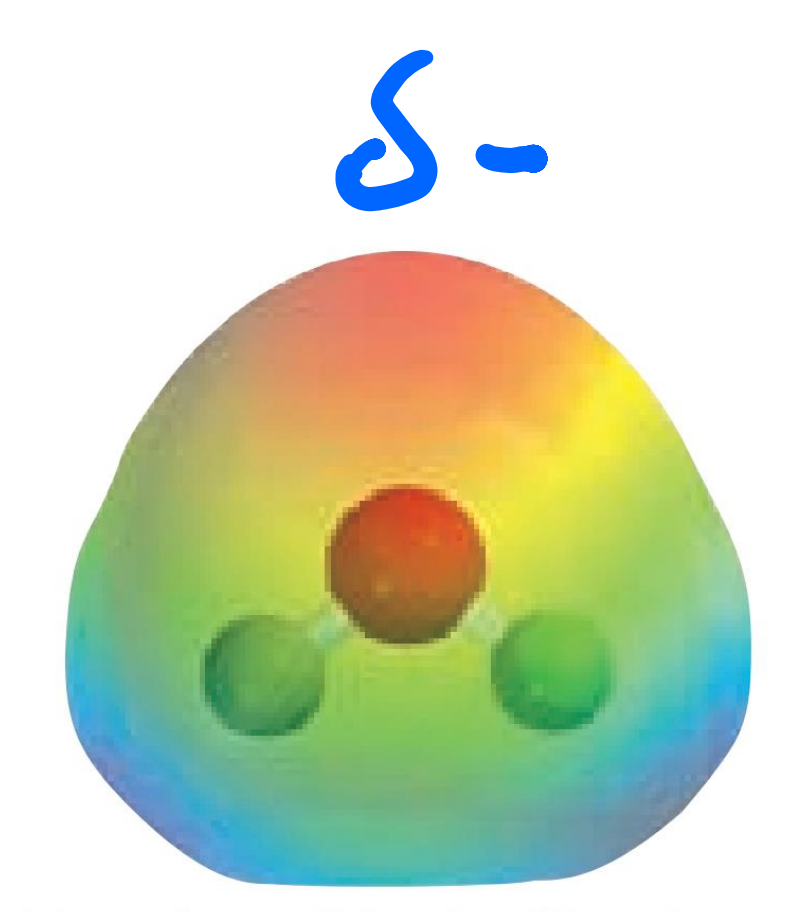


- Fuerza de cohesión agua
- Fuerza de cohesión agua superficie
- Fuerzas de adhesión aguapared capilar
- Moléculas de agua



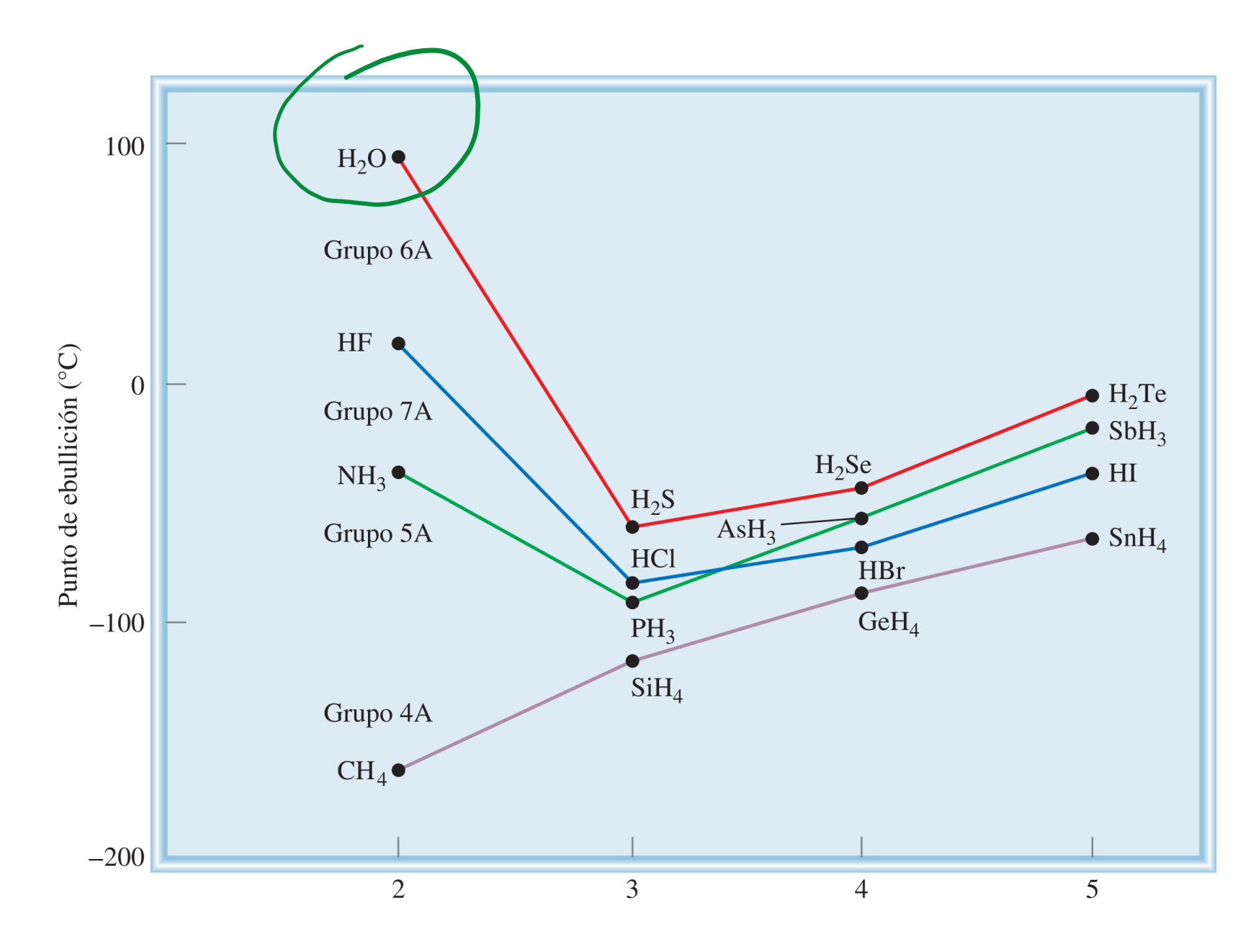
#### Propiedades del agua





Mapa del potencial electrostático del agua.





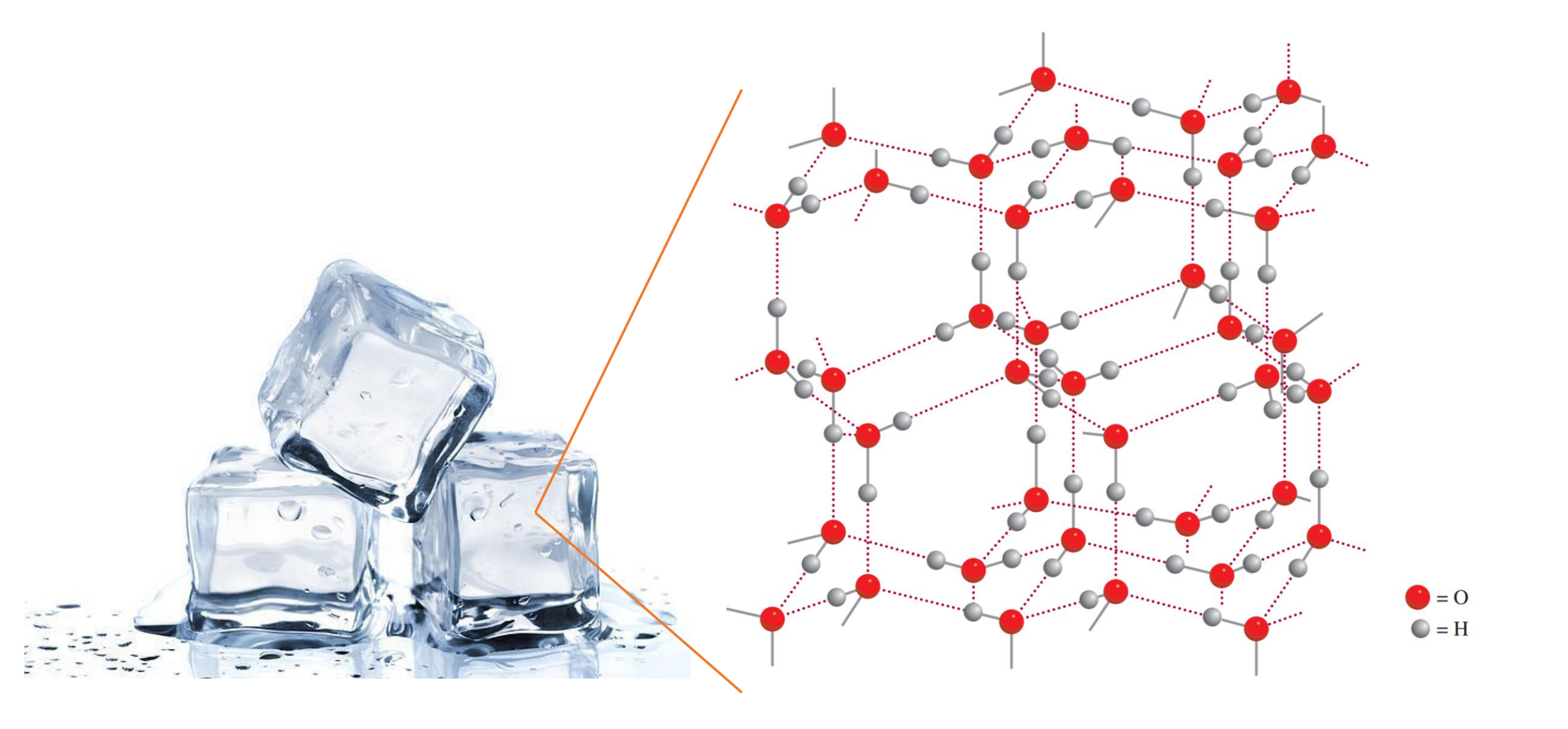
**Figura 11.6** Puntos de ebullición de los compuestos con hidrógeno de los elementos de los grupos 4A, 5A, 6A y 7A. A pesar de que normalmente esperamos que el punto de ebullición se incremente a medida que se desciende en un grupo, podemos observar que tres compuestos (NH<sub>3</sub>, H<sub>2</sub>O y HF) se comportan de manera diferente. Esta anomalía se puede explicar en términos del puente de hidrógeno intermolecular.

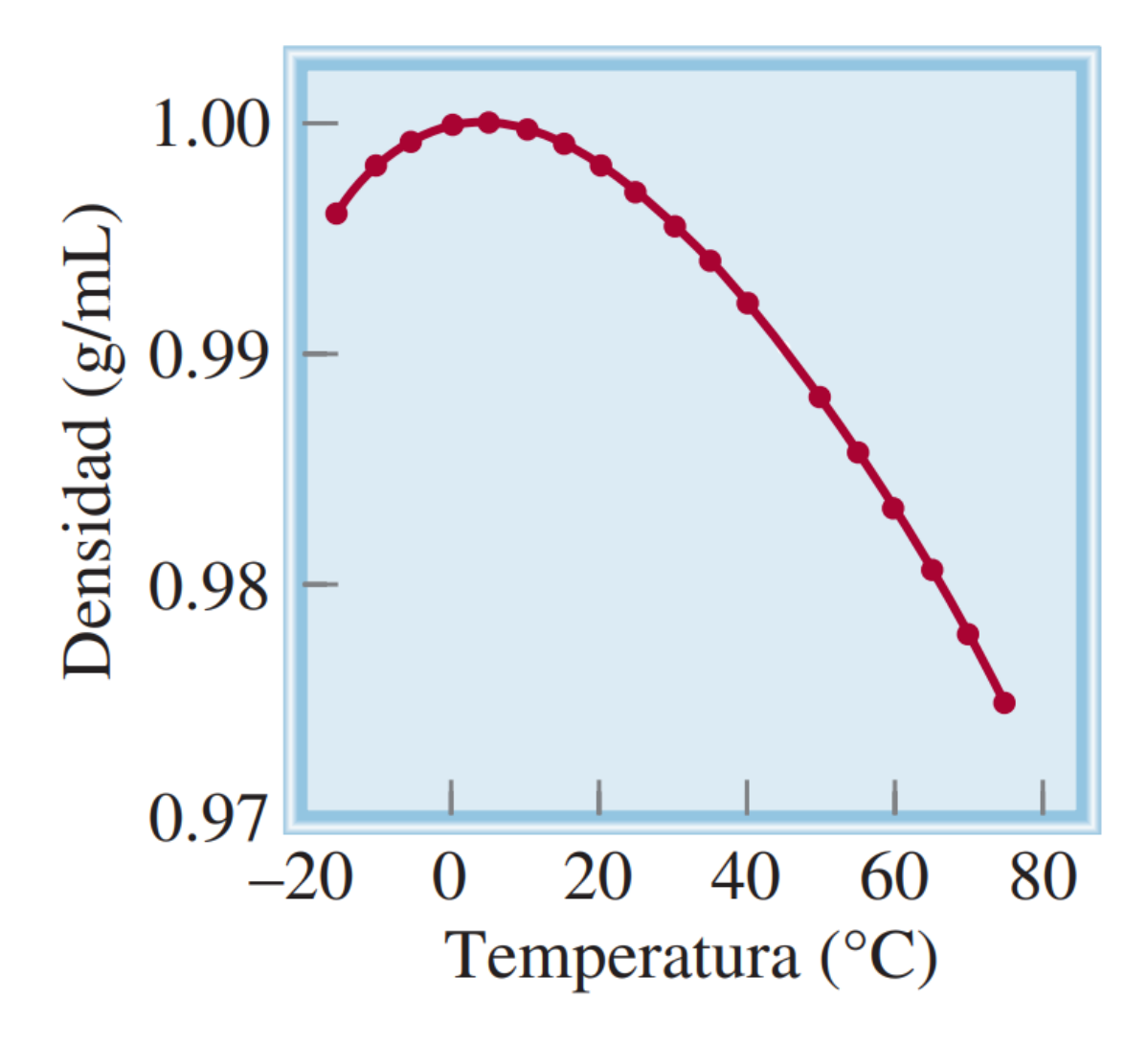
#### **Flotabilidad**



El hielo flota sobre el agua líquida

El benceno sólido se hunde en benceno líquido





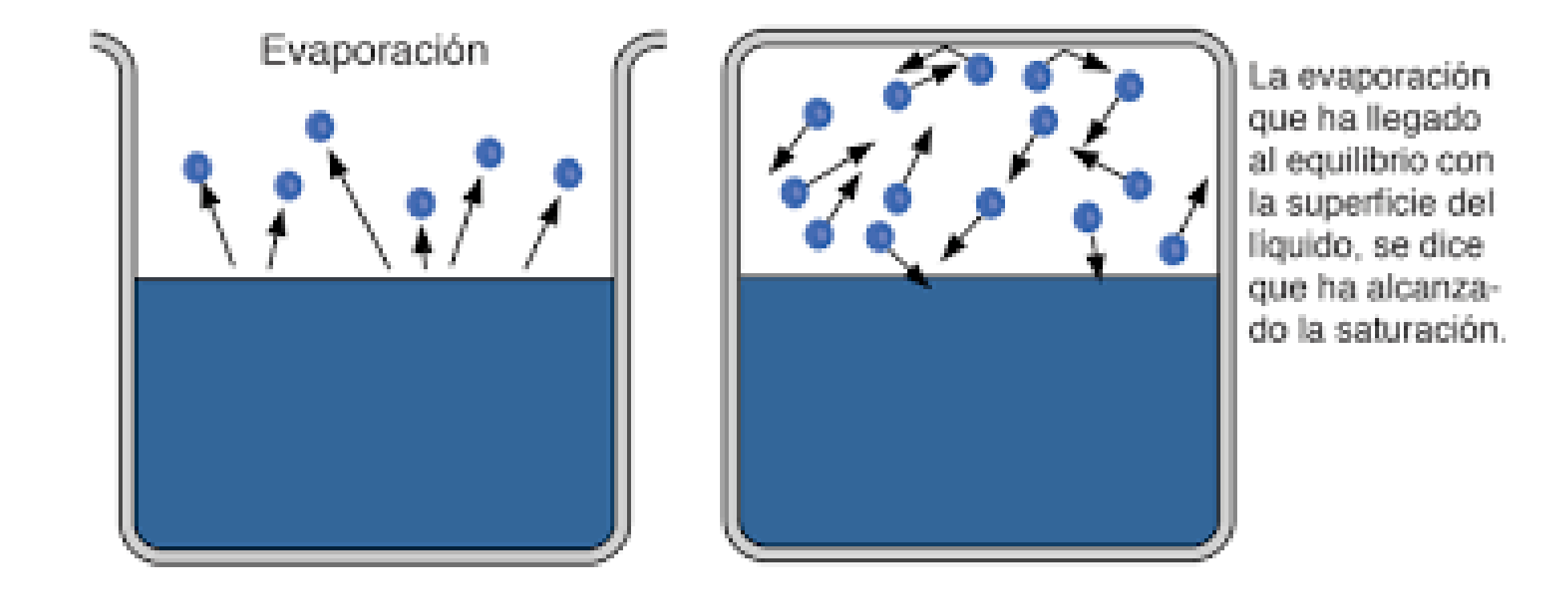
**Figura 11.13** Diagrama de densidad contra temperatura para el agua líquida. La densidad máxima del agua se alcanza a 4°C. La densidad del hielo a 0°C es aproximadamente de 0.92 g/cm³.





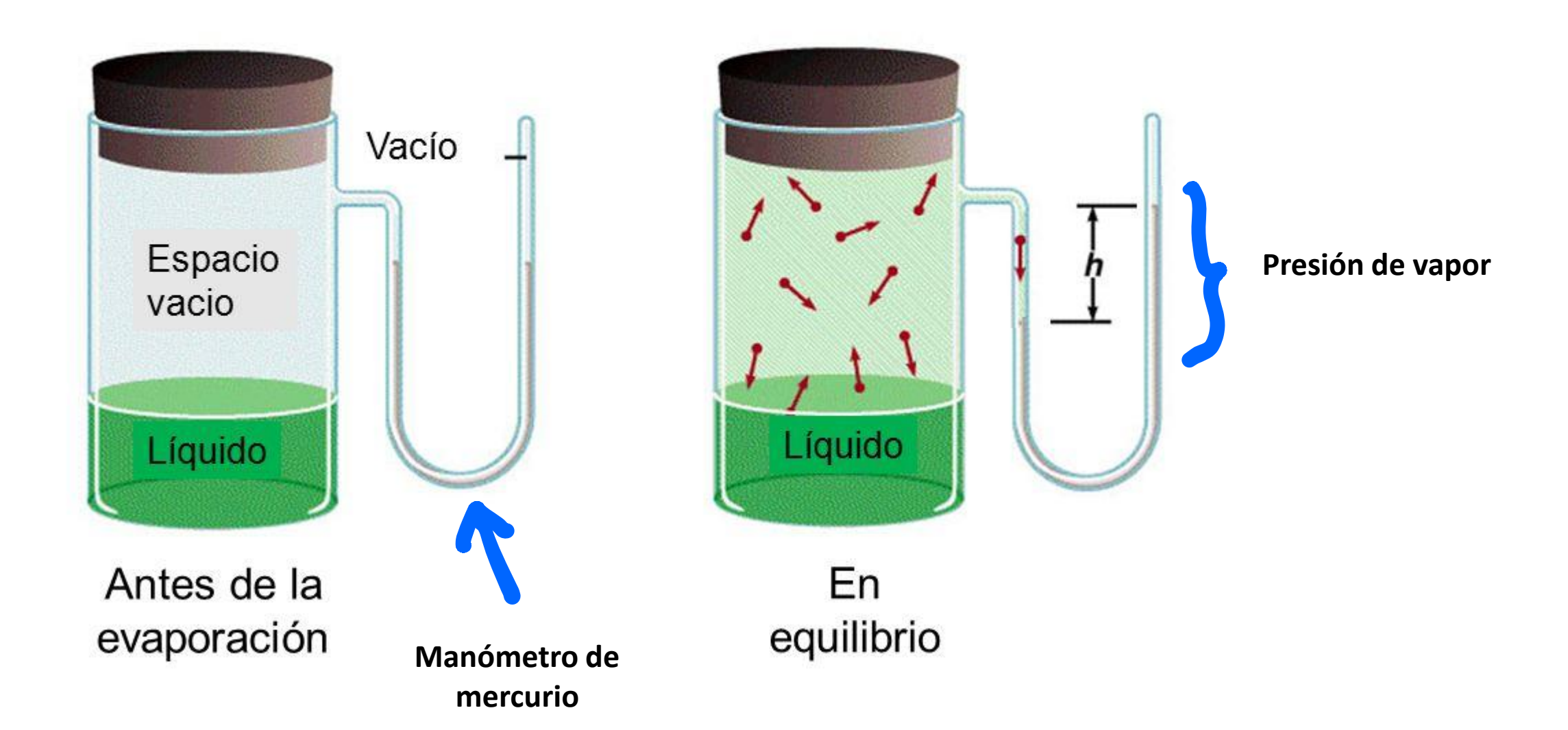


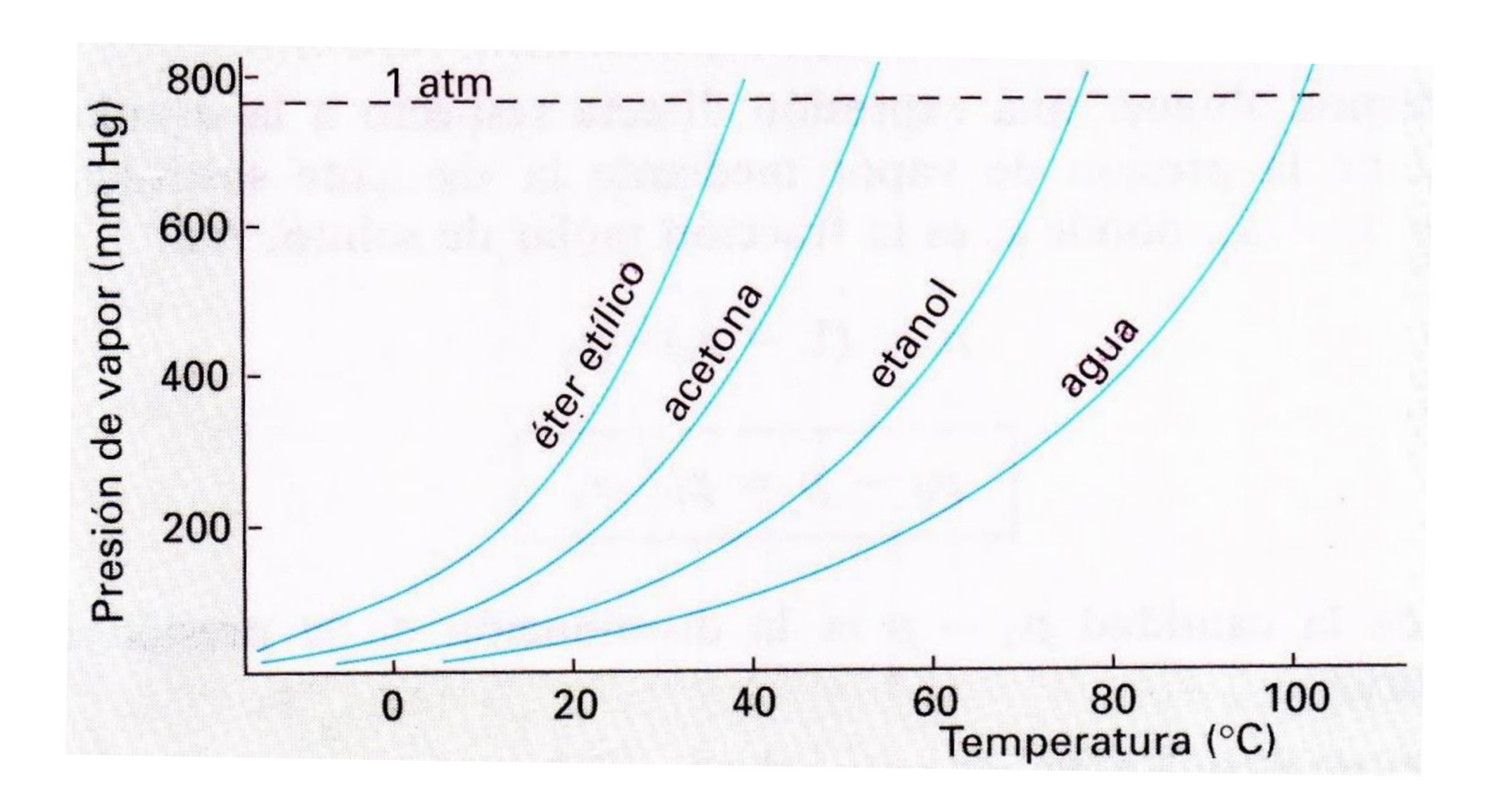
#### Tensión o presión de vapor



La energía cinética de las moléculas es dependiente de la temperatura

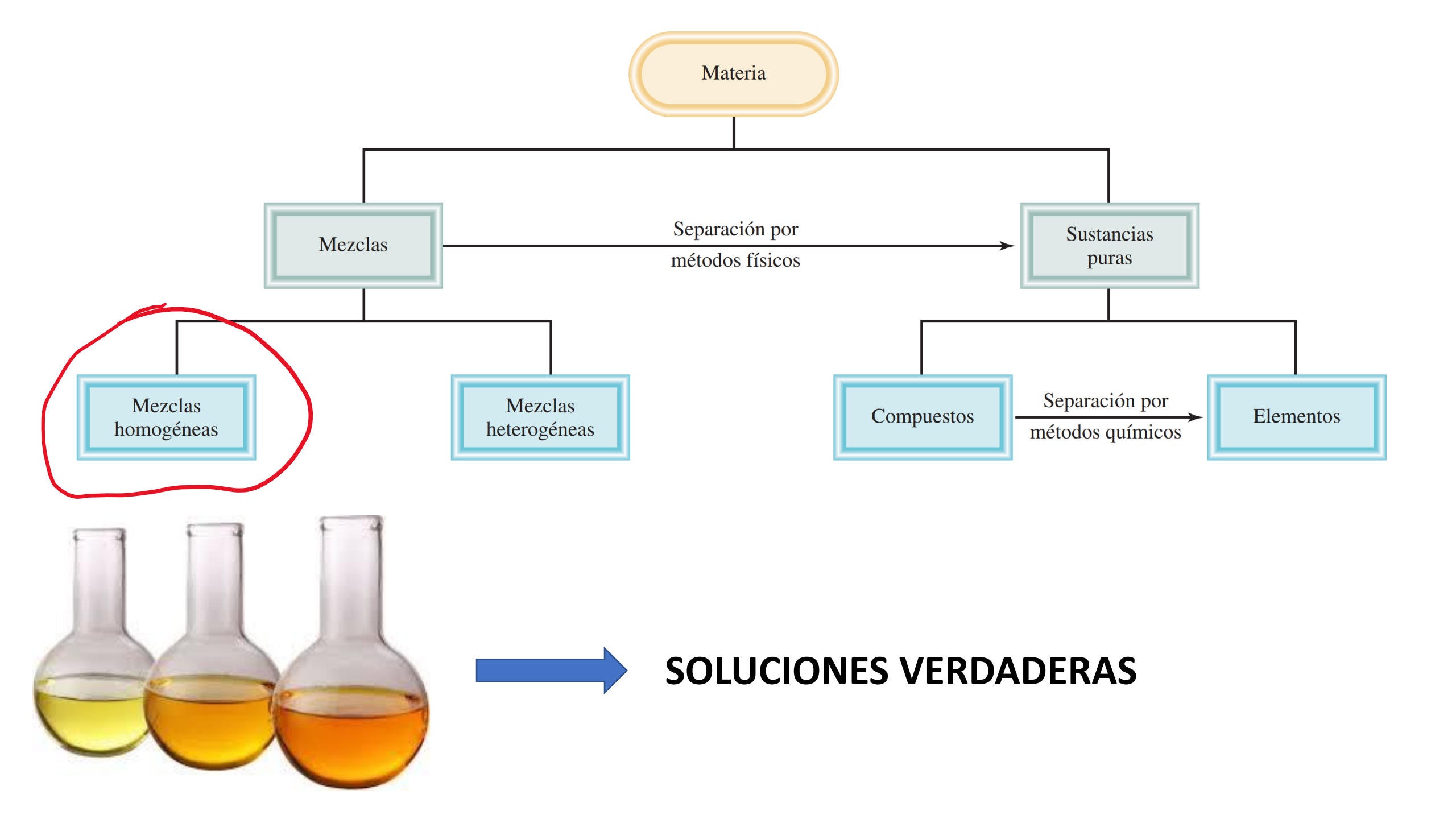
# Presión de vapor de un líquido





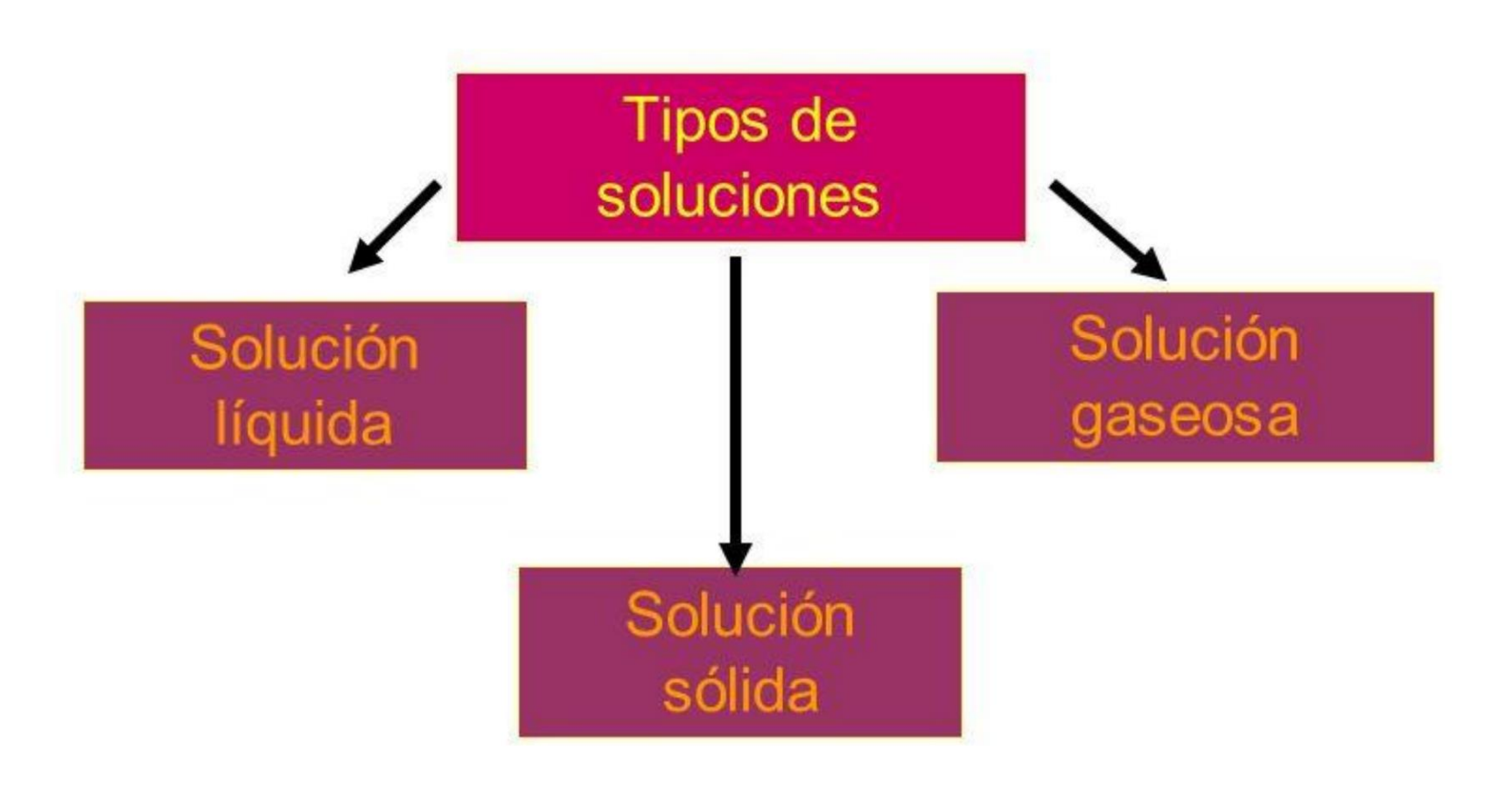


Generalidades de las soluciones





## Según el estado de agregación de las sustancias, las soluciones pueden clasificarse



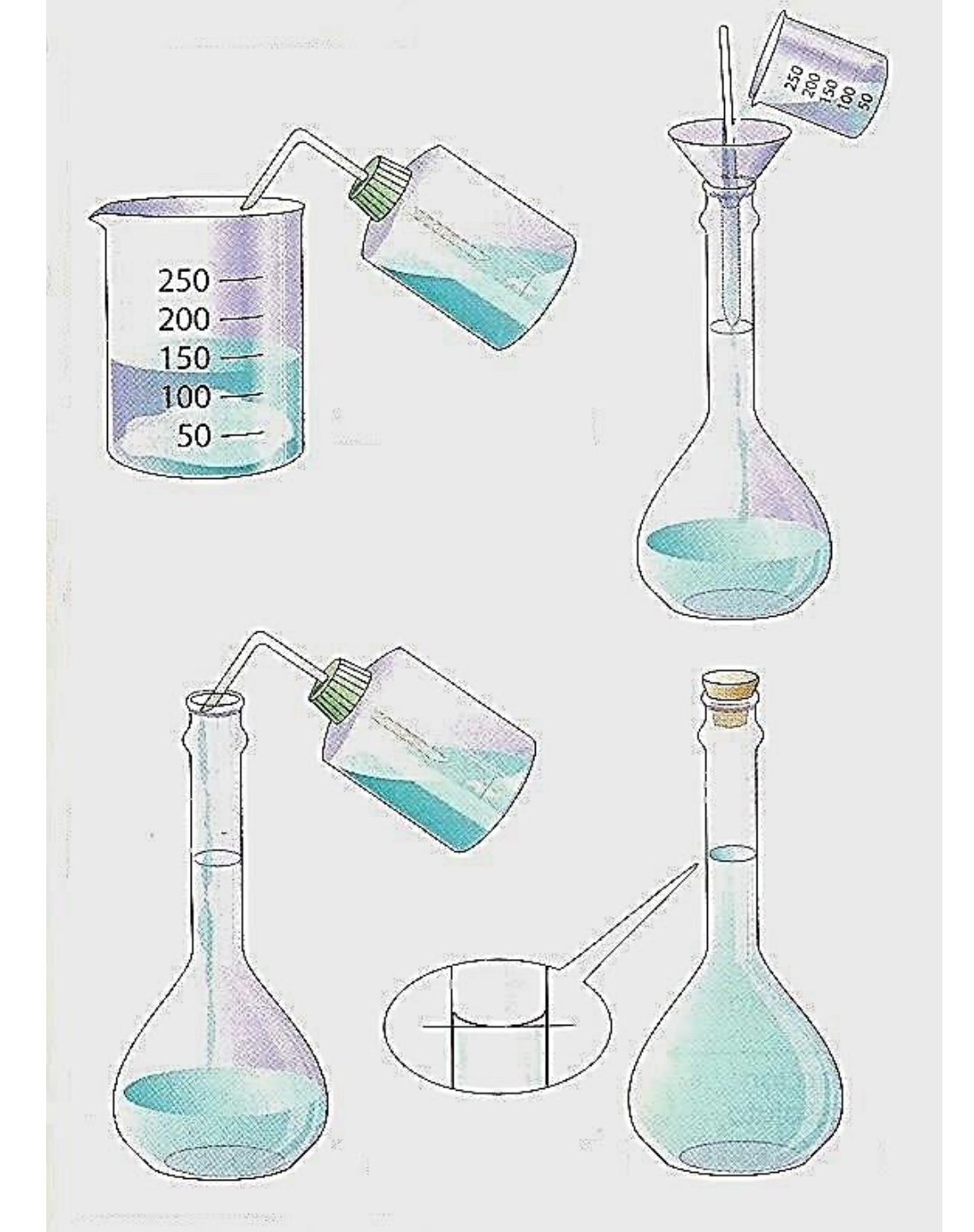
#### TABLA 12.1 Tipos de disoluciones

Componente 1	Componente 2	Estado de la disolución resultante	Ejemplos
Gas	Gas	Gas	Aire
Gas	Líquido	Líquido	Agua gaseosa (CO <sub>2</sub> en agua)
Gas	Sólido	Sólido	H <sub>2</sub> gaseoso en paladio
Líquido	Líquido	Líquido	Etanol en agua
Sólido	Líquido	Líquido	NaCl en agua
Sólido	Sólido	Sólido	Latón (Cu/Zn), soldadura (Sn/Pb)

#### Preparación de soluciones a partir de reactivos sólidos

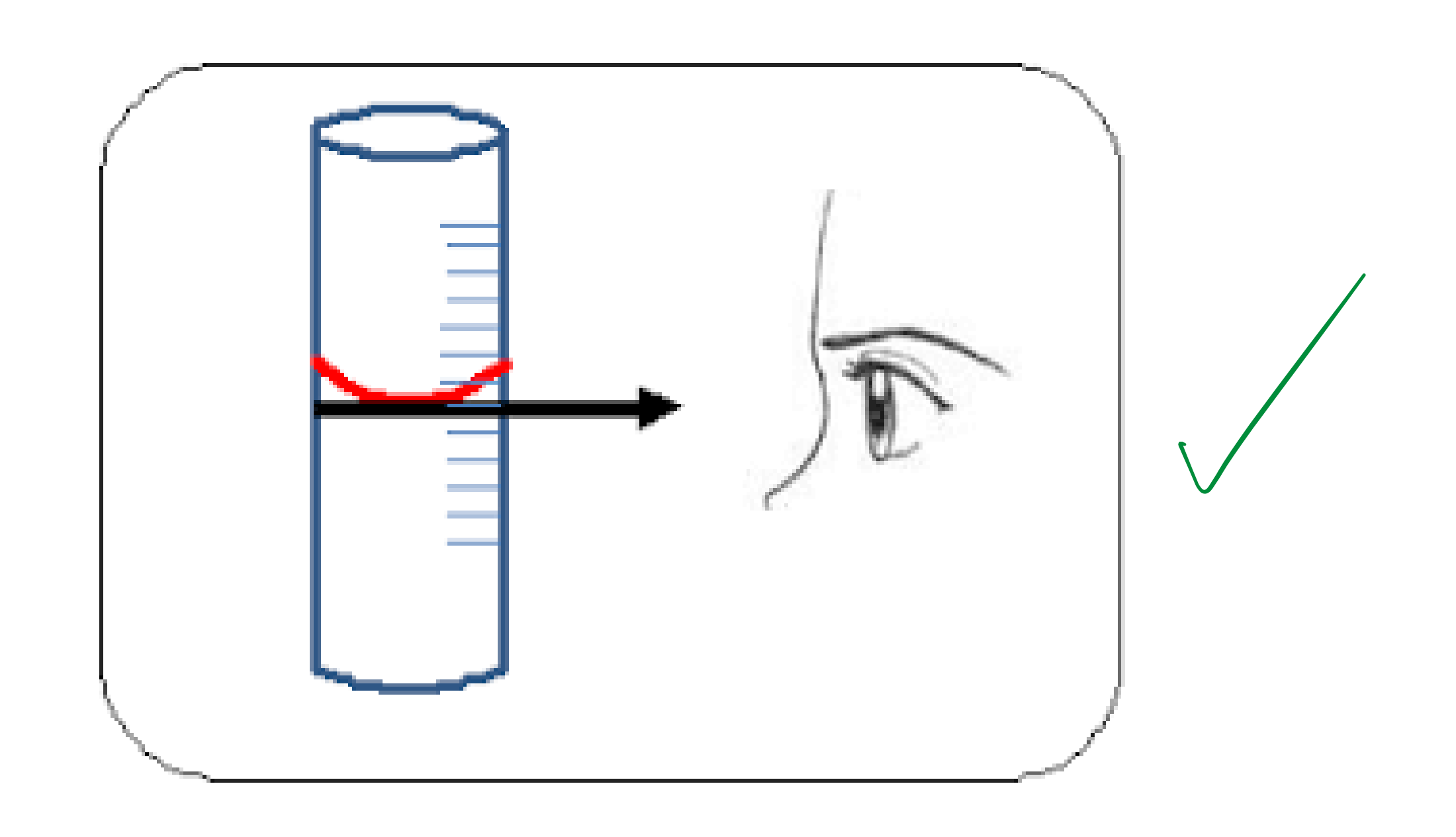


Se debe terminar la solución agitando para lograr homogeneidad

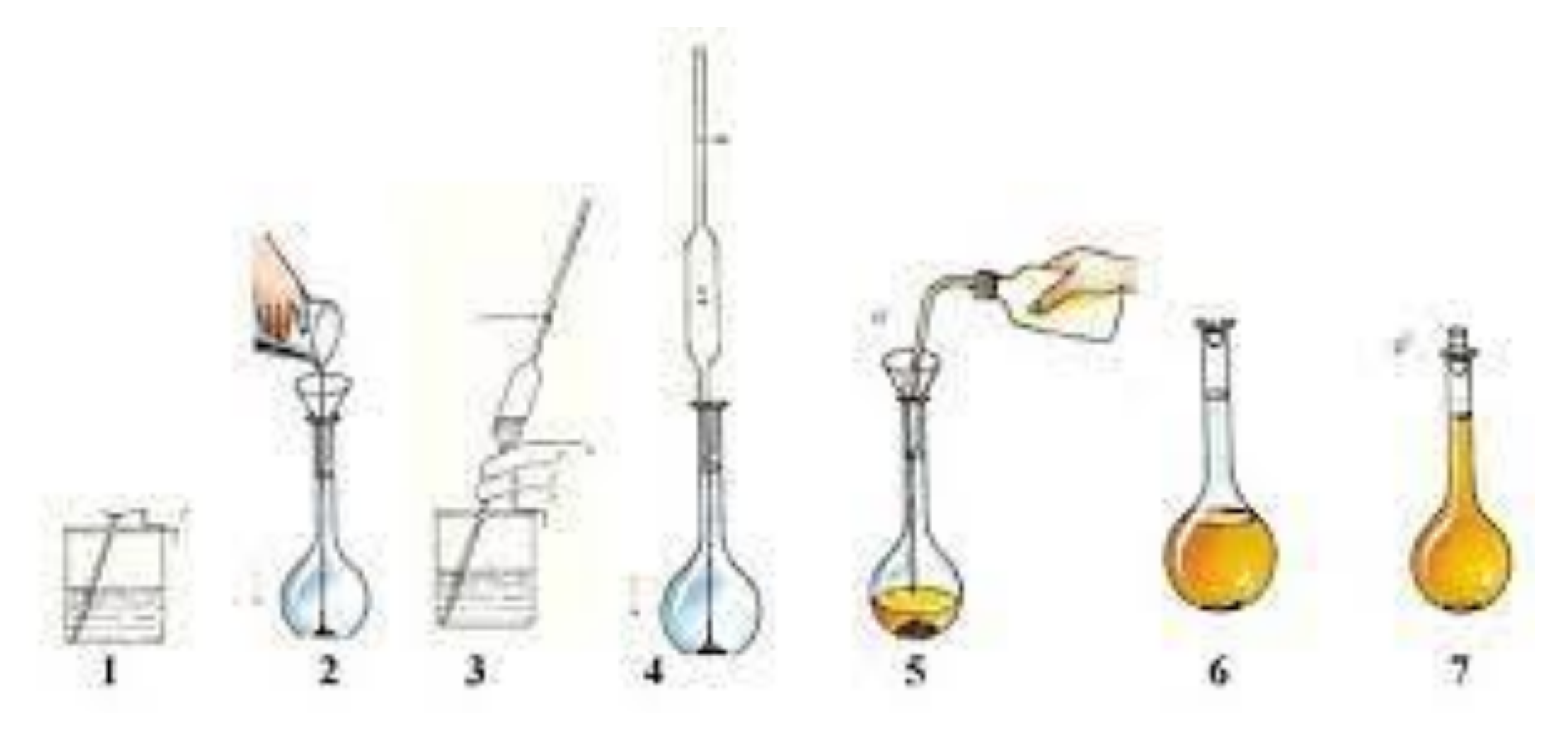


Enrasar o aforar

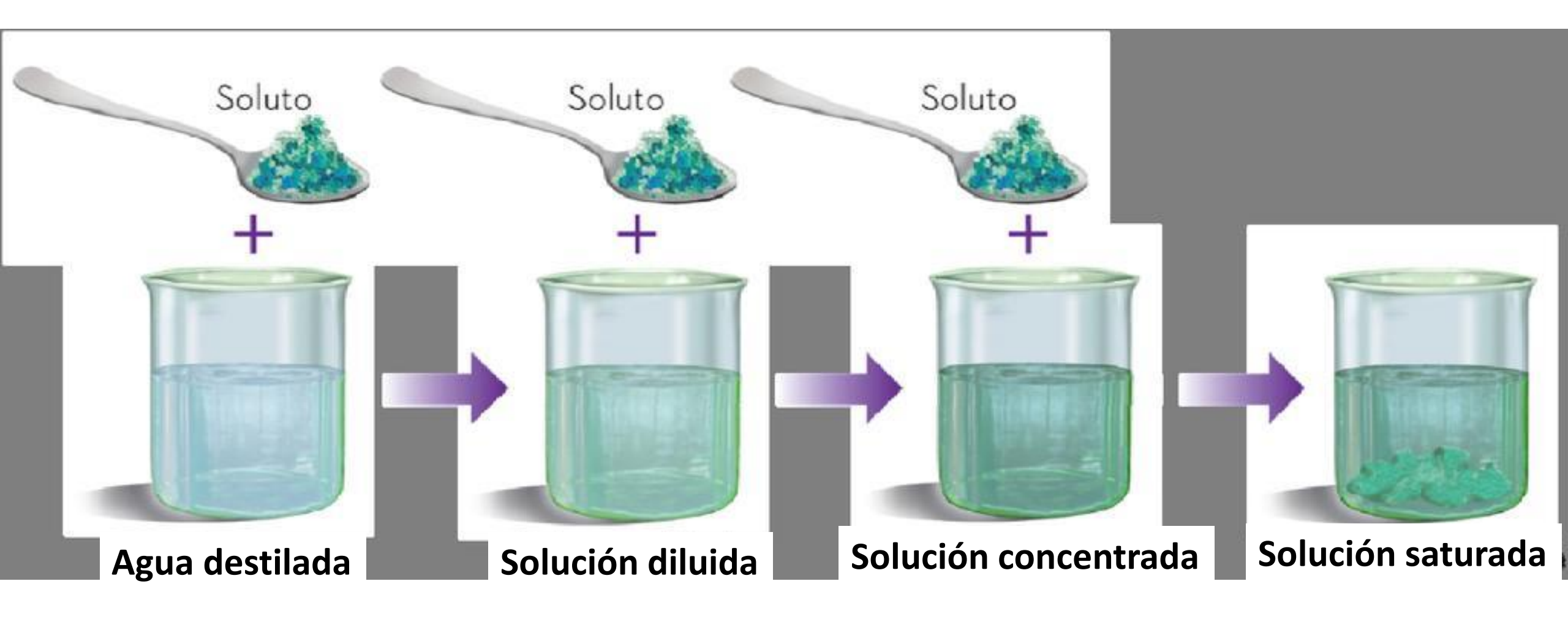
Enrasar o aforar



#### Preparación de soluciones a partir de reactivos líquidos



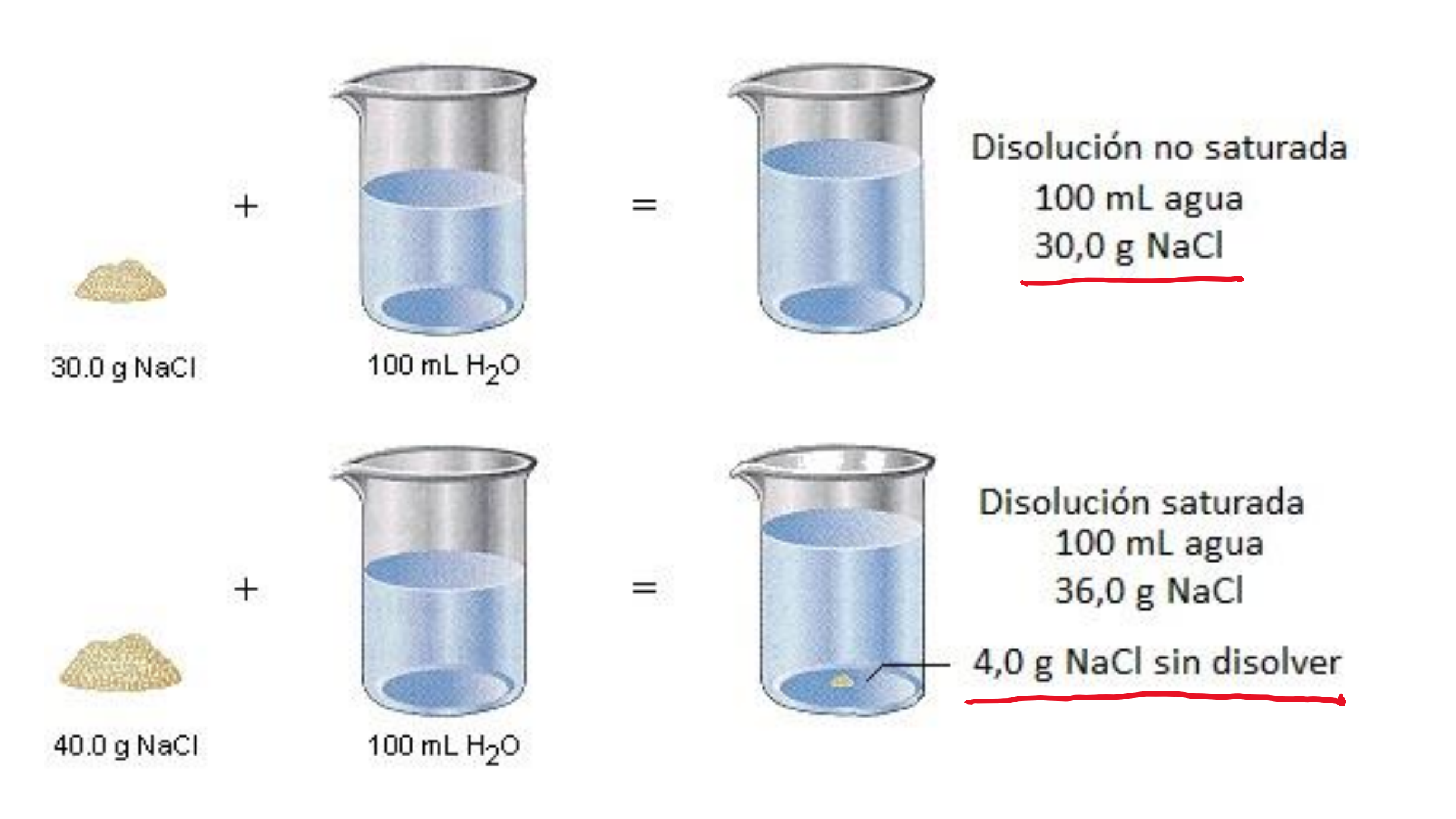
Se debe terminar la solución agitando para lograr homogeneidad

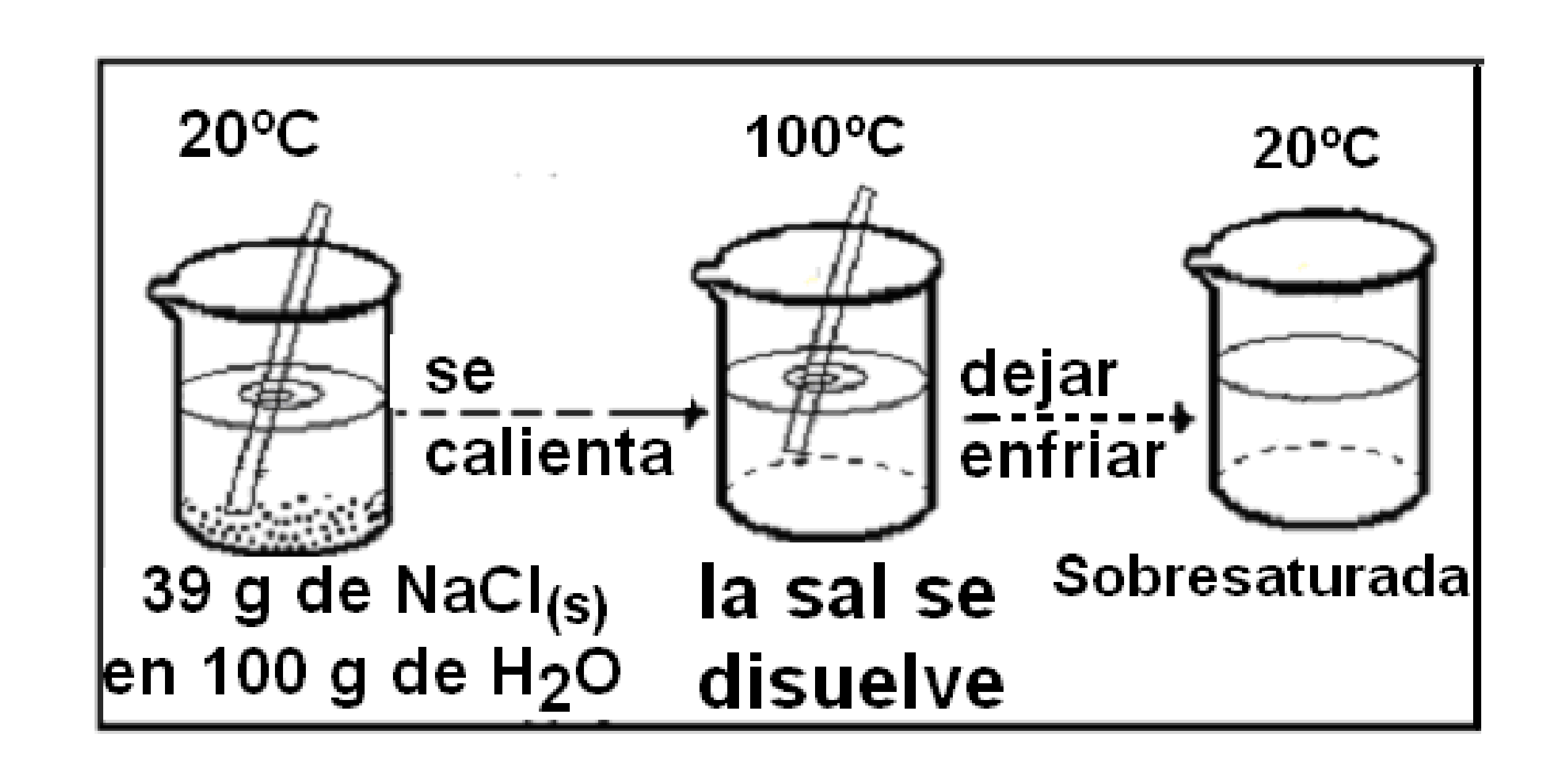


# Solubilidad

# g soluto / 100 g H2O

Soluto	20 °C	100 °C
NaCl	36	39
Ba (OH)2	5,6	95
KNO <sub>3</sub>	13	247
<b>O</b> 2	4,9	2,6

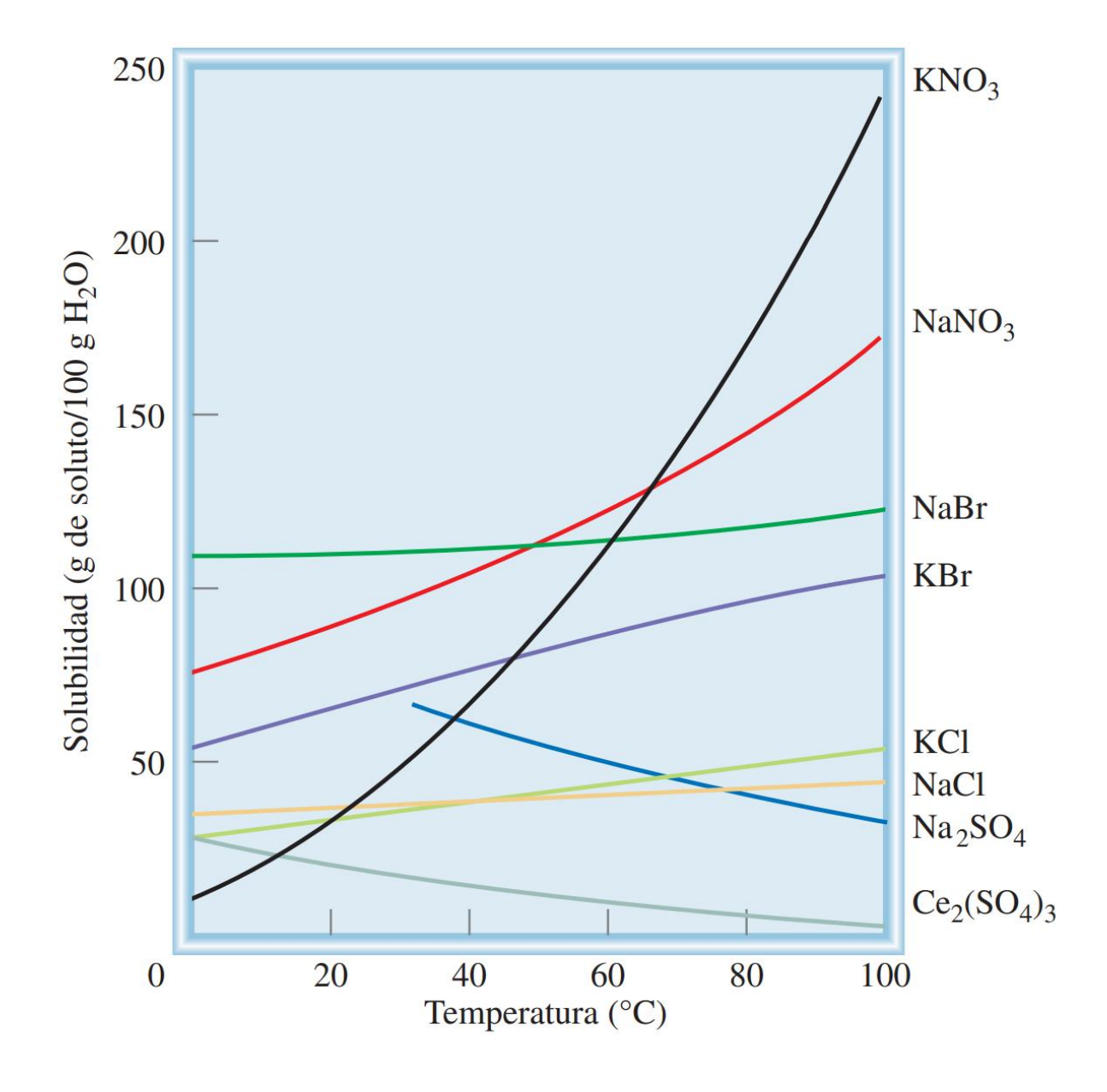




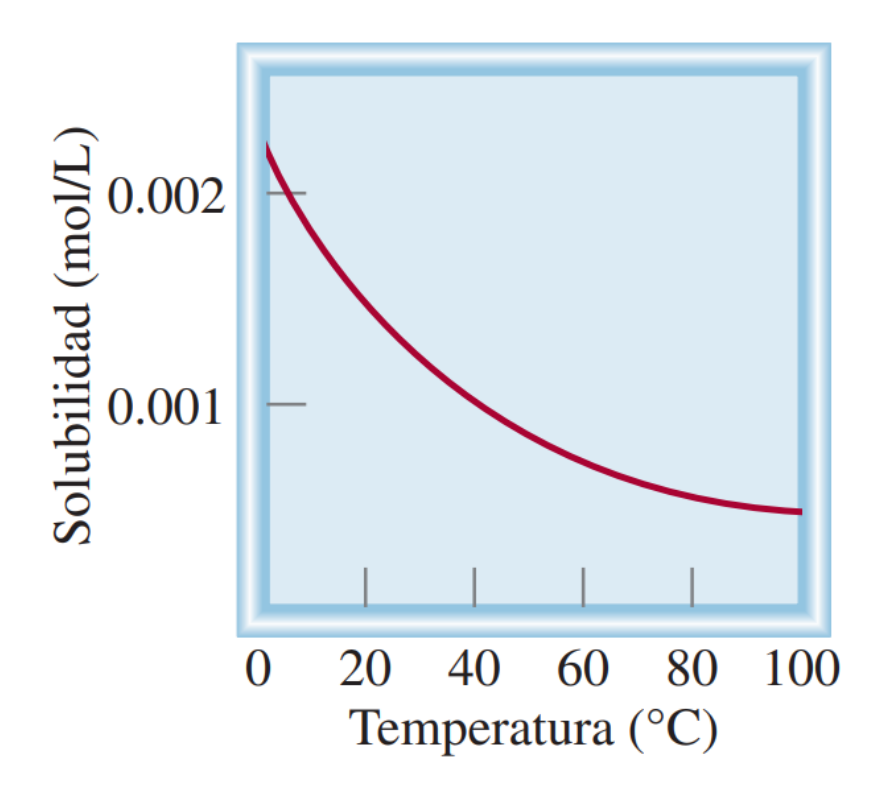
#### Solución sobresaturada de acetato de sodio (CH<sub>3</sub>COONa)



Figura 12.1 Cuando se siembra un pequeño cristal a una disolución sobresaturada de acetato de sodio (izquierda), se forman rápidamente cristales de acetato de sodio.



**Figura 12.3** Dependencia de la solubilidad de algunos compuestos iónicos en agua, con respecto a la temperatura.



**Figura 12.5** Dependencia de la solubilidad del O<sub>2</sub> gaseoso en agua con respecto a la temperatura. Observe que la solubilidad disminuye con el incremento a la temperatura. La presión del gas sobre la disolución es de 1 atm.

# La solubilidad de los gases disminuye con la temperatura

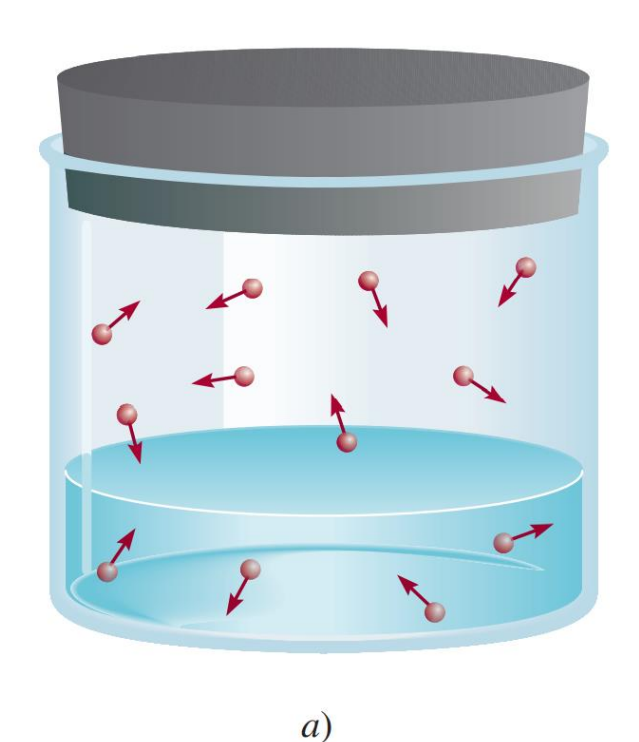
Ley de Henry. la solubilidad de un gas en un líquido es proporcional a la presión del gas sobre la disolución

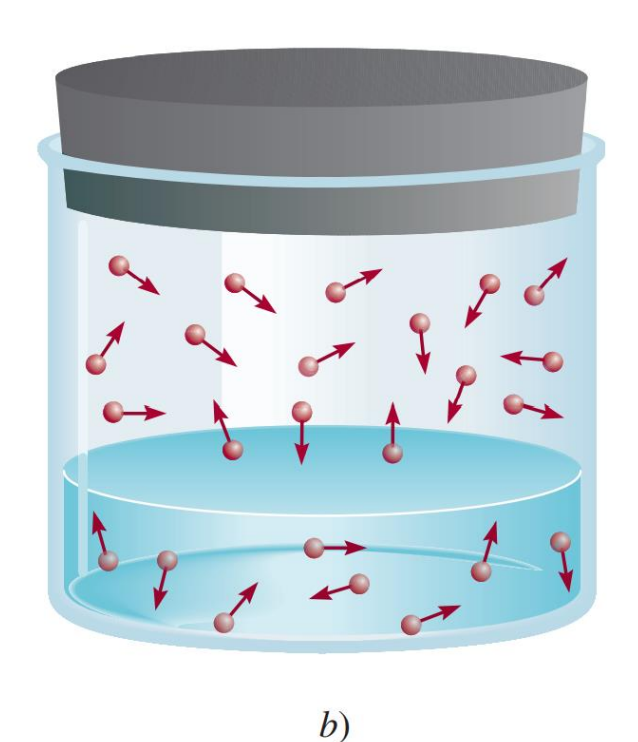
$$C = kP$$

C = concentración molar (moles/L)

k =constante que depende de la T

P = Presión del gas (atm)

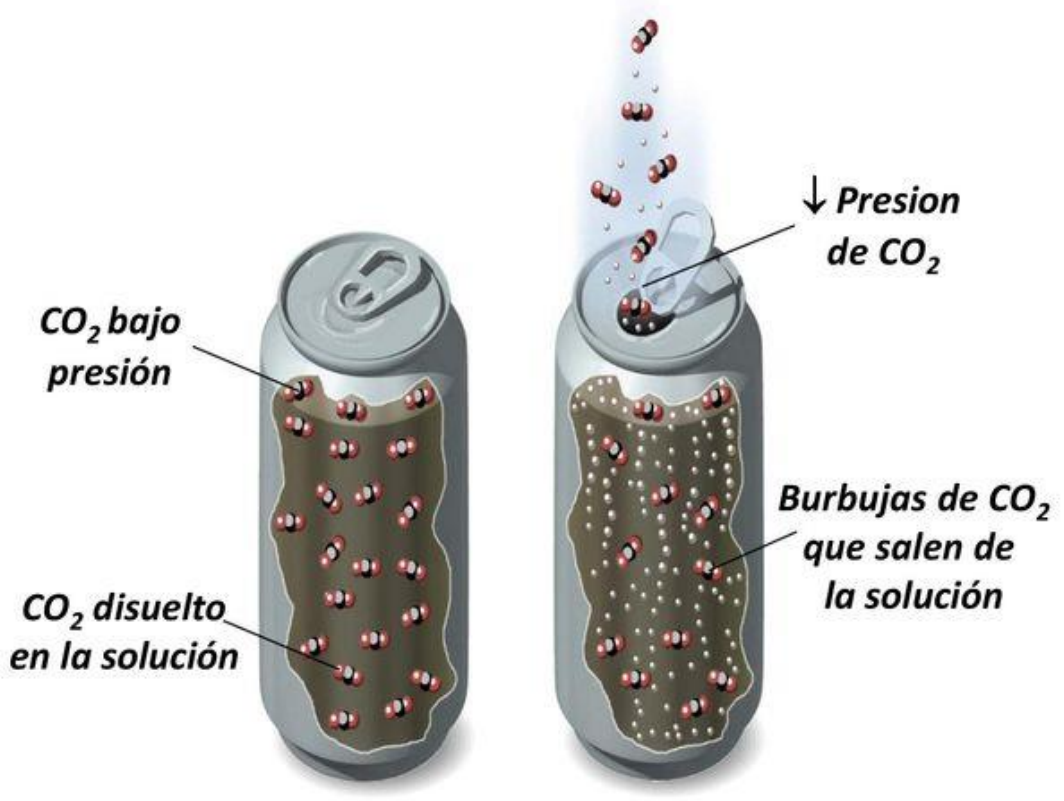




**Figura 12.6** Interpretación molecular de la ley de Henry. Cuando la presión parcial del gas sobre la disolución se incrementa de *a*) a *b*), la concentración del gas disuelto también se incrementa de acuerdo con la ecuación (12.3).



### Aplicación de la ley de Henry



¿Que pasa cuando destapo una gaseosa?

El aire y CO2 esta a una P saturada de vapor de agua.

$$CO_2(g) + H_2O \longleftrightarrow H_2CO_3$$

Burbujas de CO₂ Cuando se destapa, la P de que salen de la solución
CO2 cae a 0,03 atm, ↓ la solubilidad y por lo tanto el CO2 que sobre se escapa de la solución.

